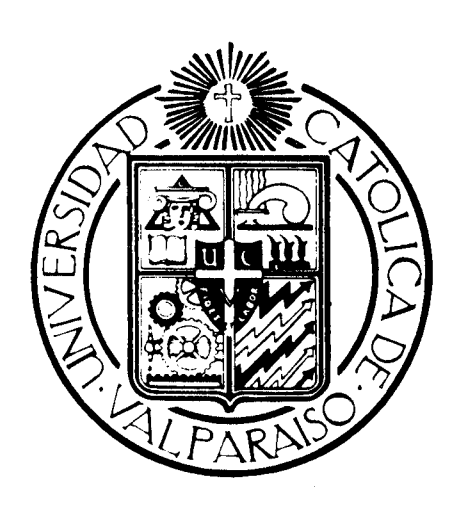
UNIVERSIDAD CATOLICA DE VALPARAISO FACULTAD DE AGRONOMIA

AREA DE FRUTICULTURA



TALLER DE TITULACION

ESTUDIO COMPARATIVO DE LA DISTRIBUCION Y DENSIDAD DE RAICES ABSORBENTES EN PALTO (Persea americana Mill.) cv. HASS EN FUNCION A LOS PATRONES DE DISTRIBUCION USO-CONSUMO DEL AGUA EN EL SUELO EVALUADOS BAJO DOS SISTEMAS DE RIEGO PRESURIZADO (GOTEO Y MICROASPERSION)

IVAN ANDRES VILLABLANCA PRINEA

QUILLOTA CHILE 1994

INDICE DE MATERIAS

	Pág.
1. INTRODUCCION	1
2. REVISION BIBLIOGRAFICA	4
2.1. Aspectos Generales.	4
2.2. Fisiología del árbol.	5
2.2.1. Sistema radicular.	5
2.2.2. Sistema vegetativo.	9
2.2.3. Sistema reproductivo.	14
2.3. Patrón ciclico del crecimiento en una	
temporada.	19
2.4. Requerimientos hidricos del palto.	22
2.5. Efectos del riego.	29
2.6. Programación del riego en paltos	
(frecuencia y volumenes de riego).	35
2.7. Determinación de Evaporación de Cultivo (ETc) y Evaporación Potencial (ETo).	37
2.8. Aspectos a considerar en el uso de	
tensiómetros y bandejas evaporimétricas.	41
3. MATERIAL Y METODO	
3.1. Ubicación.	43
3.2. Caracterización del sector de estudio.	43
3.2.1. Clima.	43
3.2.2. Suelo.	45
3.2.3. Agua.	46
3.3. Material experimental.	46
3.3.1. Caracterización de los árboles.	46
3.4. Metodologia de trabajo.	47
3.4.1. Determinación del patrón de uso	
y consumo del agua.	47
3.4.2. Determinación de la descarga del microaspersor.	48
ma wa woopina mwa s	-x C1

3.4.3. Descripción y evaluación del	
crecimiento de raices.	51
3.4.4. Obtención de registros.	55
3.4.4.1 Registros del riego.	55
3.4.4.2. Registros climatológicos.	56
3.4.4.3. Registros del cíclo fenológico.	56
3.4.4.4. Caracterización del suelo del	
huerto de paltos.	57
3.4.4.5. Determinación de la Densidad Aparente	
y confección de la Curva Caracteristica	
de Humedad.	57
4. PRESENTACION Y DISCUSION DE RESULTADOS.	59
4.1. Análisis de los registros climatológicos.	59
	ور دور
4.2. Análisis del riego.	61
4.3. Análisis del tipo de suelo.	65
4.5. Analista del cipo de adelo.	0.0
4.4. Análisis de los patrones de distribución	
uso-consumo del agua.	72
on action. Consider a set of s	,
4.5. Análisis de la descarga del microaspersor.	85
4.6. Análisis del desarrollo de raices bajo los	
dos sistemas de riego.	88
5. CONCLUSIONES	104
6. RESUMEN	106
7. LITERATURA CITADA	108

ANEXOS

INDICE DE FIGURAS

			Pag.
FIGURA	1.	Crecimiento radicular en palto cv. Hass, Quillota, V Región, septiembre 1990 - junio 1991.	7
FIGURA	2.	Floración en palto cv. Hass, Quillota, V Región, septiembre 1990 - junio 1991.	15
FIGURA	3.	Crecimiento de frutos de palto cv. Hass, Quillota, V Región.	18
FIGURA	4.	Crecimiento vegetativo en palto cv. Hass, Wuillota, V Región, septiembre 1990 - junio 1991.	20
FIGURA	5.	Período de caída de frutos de palto cv. Hass, Quillota, V Región.	26
FIGURA	6.	Diagrama que muestra la distribución de los puntos en que fueron medidas las tensiones para el sector regado por el sistema de microaspersión donde corresponde al microaspersor y corresponde a cada punto de medición cada 0,5 m.	4/9
FIGURA	7.	Diagrama que muestra la distribución de puntos en que fueron medidas las tensiones para el sector regado por goteo donde corresponde a la linea y • corresponde a los puntos de medición ubicados cada 0,5 m.	50
FIGURA	в.	Fotografía que muestra la cuadrícula utilizada para la cuantificación de raices absorbentes y su manera de ubicarla en el perfil del suelo.	52

FIGURA	9.	Diagrama que muestra la orientación de la zanja confeccionada en el huerto regado por microaspersión para analizar el desarrollo de raíces donde corresponde al microaspersor y managemento a la zanja.	53
FIGURA	10.	Diagrama que muestra la orientación de las zanjas realizadas en el huerto regado por goteo para la prospección de raices, donde corresponde a la linea de goteo y torresponde a las zanjas.	54
FIGURA	11.	Curva característica de humedad para la estrata de 0 - 30 cm perteneciente al huerto de la Estación Experimental de la U.C.V.	68
FIGURA	12.	Curva característica de humedad para la estrata de 30 - 60 cm perteneciente al huerto de la Estación Experimental de la U.C.V.	69
FIGURA	13.	Curva característica de humedad para la estrata 0 - 30 cm para el huerto del fundo *La Palma*.	71
FIGURA	14.	Diagrama que muestra la distribución de las tensiones medidas a 30 y 60 cm de profundidad un dia después del riego para el huerto regado por microaspersión.	75
FIGURA	15.	Diagrama que muestra la distribución de las tensiones medidas a 30 y 60 cm de profundidad un día después del riego para el huerto regado por microaspersión.	76
FIGURA		Diagrama que muestra la distribución de las tensiones a 30 y 60 cm de profundidad medidas un día antes del riego en el huerto regado por microaspersión.	77

FIGURA	17.	Diagrama que muestra la distribución de las tensiones a 30 y 60 cm de profundidad medidas un día antes del riego en el huerto regado por microaspersión.	78
FIGURA	18.	Diagrama que muestra la distribución de las tensiones a 30 y 60 cm de profundidad medidos en sentido paralelo a la linea de goteo para el huerto regado por goteo.	82
FIGURA	19.	Diagrama que muestra la distribución de las tensiones a 30 y 60 cm de profundidad medidas en sentido perpendicular a la línea de goteo para el huerto regado por goteo.	83
FIGURA	20.	Diagrama que muestra la descarga de los microaspersores.	87
FIGURA	21.	Fotografía que muestra la distribución de raíces en el huerto regado por microaspersión.	i) Wei
FIGURA	22.	Fotografía que muestra el desarrollo de raíces absorbentes a una distancia de 50 cm del tronco.	91
FIGURA	23.	Fotografía que muestra el desarrollo de raíces absorbentes bajo la cubierta de hojas en el huerto regado por goteo.	95
FIGURA	24.	Fotografía que muestra la distribución de raices en la estrata que va de 20 a 45 cm.	98
FIGURA	25.	Fotografía que muestra la distribución de raíces en sentido perpendicular a la linea de goteo.	100

INDICE DE CUADROS

CUADRO	1.	Coeficientes de cultivo (Kc), para paltos, obtenidos de los datos del CIMS, California, EEUU.	40
CUADRO	2.	Distribución de la tensión del agua en el suelo medida en el sector regado por microaspersión un día después del riego a dos profundidades (30 y 60 cm).	73
CUADRO	3.	Distribución de la tensión del agua en el suelo medida en el sector regado por microaspersión un día antes del riego a dos profundidades (30 y 60 cm).	74
CUADRO	4.	Distribución de las tensiones del agua en el suelo medidas en el huerto regado por goteo un dia después del riego a dos profundidades (30 y 60 cm) en sentido paralelo a la linea de goteros.	80
CUADRO	5.	Distribución de la tensión del agua en el suelo medida en el huerto regado por goteo un dia después del riego a dos profundidades (30 y 60 cm) en sentido perpendicular a la linea de goteo.	81
CUADRO	6.	Densidad de raices medida en el huerto regado por microaspersión en tres estratas.	92
CUADRO	7.	Densidad de raíces medida en el huerto regado por goteo en sentido paralelo a la linea de goteros.	96
CUADRO	8.	Densidad de raices medida en el huerto regado por goteo en sentido perpendicular a la linea de goteo.	99

1. INTRODUCCION

En el manejo de un huerto de paltos, la disponibilidad de agua es uno de los factores que directamente condiciona el crecimiento y desarrollo de la planta, situación que se refleja en la productividad y calidad de la fruta cosechada. Este efecto se manifiesta directamente sobre el comportamiento del cíclo fenológico del árbol y otros procesos fisiológicos que, sin ser absolutamente visibles, determinarian además los parámetros de producción de la temporada siguiente.

Para la cuantificación de los requerimientos hidricos del palto, es decir, cuánto regar, situación que no se puede separar de cuándo regar, es necesario tener en cuenta la manera cómo la red de pelos radiculares obtiene el agua desde el suelo. Esta posteriormente debe ascender por los vasos del xilema y ser distribuida a la parte aérea, donde el agua pasa de estado liquido a vapor, el que a su vez es liberado a la atmósiera, produciéndose entonces el fenómeno de transpiración, cuya concecuencia es la termorregulación de la planta.

De esta manera, la cantidad de agua requerida a través del riego busca satisfacer las pérdidas por evapotranspiración (planta-suelo), que dependen principalmente de las condiciones ambientales (temperatura, humedad relativa, viento y otros) como también la cantidad de agua presente en la matriz del suelo que varia según las características de textura, estructura y otros factores limitantes del suelo.

En lo que respecta al árbol, es importante señalar que el sistema radicular del palto es bastante ineficiente en la absorción de agua dado el alto grado de suberización que presenta, como también muy sensible a las situaciones de estrés o exceso de humedad (DU PLESSIS, 1991). Esto hace que la elección y el manejo del sistema de riego deba ser lo más cuidadoso posible. Es bien sabido que el palto es muy sensible a la asfixia radicular, factor que predispone a la planta para ataques de Phytophthora, por lo que el manejo de los contenidos de agua pasan a ser primordiales.

En la determinación de los rangos de volúmenes de agua y su distribución y frecuencia a lo largo del ciclo fenológico, en forma práctica se utilizan instrumentos tales como tensiómetros, bandeja Evaporimétrica Clase A y variables meteorológicas que, empleadas adecuadamente, pueden aumentar la eficiencia del sistema de riego y con ello lograr mejores producciones.

De esta forma, el presente trabajo busca - señalar que - el

sistema de riego (microaspersión-goteo) y su manejo tendrá un efecto sobre el crecimiento y la distribución de raices en la matriz de suelo, la que se manifestará posteriormente sobre el crecimiento y productividad del árbol.

En consecuencia los objetivos del presente ensayo son:

- 1) Estudio comparativo del uso de dos sistemas de riego presurizado (goteo y microaspersión) en paltos (<u>Fersea americana</u> Mill.) cv. Hass en alta producción, evaluados sobre el crecimiento de raices en un suelo de tipo aluvial.
- 2) Justificar que los cambios de la tensión del agua en el suelo, responden a la presencia de raices absorbentes del árbol.
- 3) Determinar la magnitud de la influencia del tipo de suelo sobre la disponibilidad de agua para paltos mediante la utilización de los valores entregados por una Curva Característica de Humedad y la Densidad Aparente de los sectores en estudio.

2. REVISION BIBLIOGRAFICA

2.1. Aspectos generales:

Determinar los requerimientos hidricos del palto equivale a responder cuanto regar. Sin embargo, lo anterior puede separarse completamente de cuando regar. La cantidad requerida para de aqua satisfacer la transpiración depende de las condiciones ambientales (temperatura, humedad relativa, viento. radiación, superficies evaporantes y presión), del tipo de suelo y de las características particulares de las plantas como son el tamaño, la edad, los niveles de producción, la estructura y la distribución de las raices (SALGADO, 1991). En California, GUSTAFSON et al. (1979), citados por DU PLESSIS (1991) demuestran que el estado de desarrollo de las plantas influye sobre las demandas en arboles regados con goteros en igual Encontraron época del año, que los de 6 años de edad demandaron 114 l/dia en comparación a los 70 l/dia de plantas de sólo 4 años.

Es por esto que para lograr el objetivo de hacer aplicaciones de riego según las necesidades reales de los árboles, es necesario estudiar el comportamiento

fisiológico de la planta y su respuesta al riego diferenciado.

2.2. Fisiología del árbol:

2.2.1. Sistema radicular

El palto presenta una estructura radicular superficial, extensamente suberizada, relativamente ineficiente en la absorción de agua, con una baja conductividad hidráuliuca y baja frecuencia de pelos radicales (DU PLESSIS, 1991). Por esta razón, los paltos han sido descritos como son extremadamente sensibles a la sequía y a la falta de oxigeno por exceso de humedad (DURAND y DU PLESSIS, 1990; WHILEY et al., 1987).

El sistema radicular de paltos está en un estrecho balance con el crecimiento vegetativo de la parte aérea del árbol. Durante el invierno, cuando la temperatura del suelo cae por debajo de los 189C, el crecimiento de las raices se reduce. Por otra parte, luego de cada brotación sigue un periodo de aumento en el crecimiento radicular llegándose a determinar que existen dos épocas de alta actividad (*flash*) de crecimiento (WHILEY et al., 1988; WHILEY et al., 1987).

Para las condiciones de Quillota, HERNANDEZ (1991)
encontró que el crecimiento radicular ocurre entre

noviembre y junio correlacionando en forma directa con las fluctuaciones estacionales que se observan en las temperaturas del suelo (Figura 1).

Respecto del desarrollo de raices en profundidad, el mayor volumen de éstas (65%) se localiza en los primeros 450 mm del suelo. donde en general son vulnerables a los rápidos cambios del medio ambiente. Las raices suberízadas son susceptibles al hongo Phytophthora cinnamomi, el cual rápidamente impacta la dinámica crecimiento del árbol (WHILEY et al., 1987a, citado por HERNANDEZ, 1991).

ABERCROMBIE (1990) al iqual que SALAZAR y CORTES (1986)determinan que la distribución de las raices de paltos horizontalmente adultos mejor, tenta COMO verticalmente. En suelos de textura gruesa y sin estratas limitantes está mejor distribuido, ya sea horizontal o verticalmente, comparado con los plantados en suelos arcillosos, no obstante que en ambos suelos la mayoria las raices finas se localizan entre los 0 y 60 cm profundidad. Al respecto, BOYRS , BARRERA y LUNA agregan que los factores genéticos tanto del portainjerto como del injerto contribuyen a determinar la distribución de las raices y también algunos componentes de su tamaño.

HERNANDEZ (1991) Y MUNOZ (1988), por su parte indican que

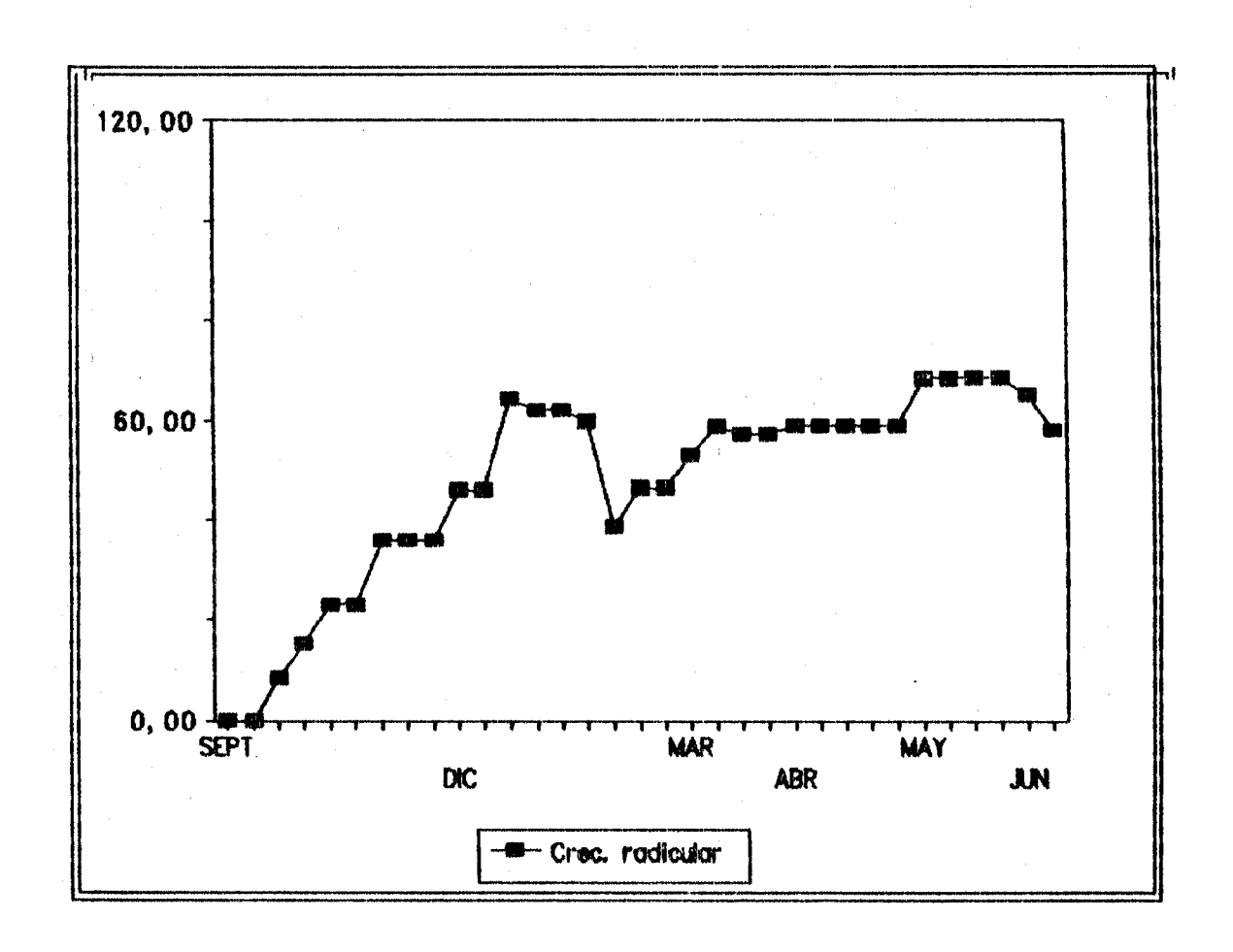


FIGURA 1. Crecimiento radicular en palto cv. Hass, Quillota, V Región, septiembre 1990 junio 1991 (HERNANDEZ, 1991).

existiendo un sistema de riego tecnificado el mayor número de raices se localiza en la zona de mayor disponibilidad de agua.

Por otra parte, se ha observado que la distribución de las raices cambia dependiendo del sistema de riego que Es asi que, usando microaspersión las raices emplee. crecen más superficialmente de acuerdo con la distribución de la pluviometria sobre el suelo y con el goteo se estimularia la concentración de las raices dentro bulbo de mojado (MUNOZ, 1988). HERNANDEZ (1991) encuentra que bajo las condiciones de Quillota, el 80% de población de raices se distribuye dentro de primeros centimetros de profundidad, con sistema de riego tica. microaspersión en un suelo de textura iranco arcillosa.

SHALHEVET et al. (1981) citados por DU PLESSIS (1991) establecen que los paltos absorben el 95% del agua en los primeros 60 cm, si el suelo presenta texturas finas mientras que en otros de texturas medias este porcentaje se lograria a profundidades mayores debido a que las raices pueden crecer más.

DU PLESSIS (1991) sugiere que la zona de riego que se debería considerar para maximizar su eficiencia y evitar pérdidas por percolación, alcanza a los primeros 60 cm de profundidad, aunque lo adecuado para cada huerto seria

determinar la profundidad efectiva la que crecen las raices.

Durante épocas de sequia, HERNANDEZ (1991) y MUNOZ (1988) señalan que éstas reducen su actividad entrando en dormancia, recuperándose al aumentar el contenido de humedad del suelo.

2.2.2. Sistema vegetativo.

El árbol de palto es de tamaño medio, de hojas alternas persistentes, coriáceas, de color verde, con forma eliptica o eliptico-lanceoladas, glabras de diez a cuarenta centimetros de largo y glancescentes en la cara inferior (PARODI, 1959).

Los árboles siempre verdes, como citricos y palto, retienen muchas de las características ancestrales de los padres, entre las cuales tenemos un abundante follaje con alta densidad de estomas y eficiencia cuántica, pero limitada capacidad fotosintética y baja conductividad hidráulica. Por otro lado, las plantaciones de estas especies han sido extensivas en zonas semiáridas que están sujetas a fuerte insolación, lo que significa que el crecimiento ocurre en condiciones de severos estreses ambientales, donde la radiación aumenta la demanda evaporativa que puede resultar en daños fisiológicos (KRIEDEMANN, 1986).

La gran canopia de éstos árboles representa una superficie evaporativa, importante pero las raices presentan una limitada capacidad de absorción de agua (ROWELL, 1979, citado por BOZZOLO, 1993). Mientras producción de frutos es menor en zonas semiáridas respecto a los subtrópicos húmedos, el éxito de cultivos en un medio nuevo radica en las características anatómicas, morfológicas y fisiológicas de la planta adecuadas al estrés de agua (WHILEY et al., 1986).

SCHOLEFIELD et al. (1980) señalan los efectos la radiación y la humedad sobre la transpiración de las hojas el potencial de presión del xilema en paltos, comparando árboles bien regados con arboles bajo estrés hidrico. La conductividad de la hoja decrece cuando la diferencia de humedad entre la hoja y el aire aumenta. Por los mismos autores han encontrado otra parte. la conductividad de 1a diferencias en hoja, la transpiración y el potencial de presión del xilema entre árboles sanos y los infectados con Phytophthora cinnamomi.

Estudios realizados por KAUFMANN y HALL (1974) indican que es posible relacionar el desarrollo de plantas bajo estrés hídrico con condiciones del suelo y de tipo atmosférico alrededor de ella. Las relaciones hídricas de muchas especies vegetales han sido interpretadas a través de un modelo para el potencial de agua en la hoja basado en el flujo continuo a través del sistema suelo planta

- atmósfera (CAMACHO, HALL y KAUFMANN, 1974). El potencial hidrico en la hoja fue descrito como una función del potencial hidrico en el suelo, el flujo de agua a través del suelo y la planta, y la resistencia al flujo en la fase líquida:

donde U es el potencial del agua y r la resistencia al flujo del agua. Bajo condiciones donde el suplemento de agua en el suelo y donde las temperaturas no limitan la absorción de agua por las raices, el potencial hídrico en la hoja disminuye y la transpiración aumenta (XAUFMANN y HALL. 1977).

El intercambio gaseoso por la hoja virtualmente cesa con valores de potencial hidrico en la hoja bajo -2,5 MPa, pero el cierre estomal puede ser iniciado en, o bajo, -1,0 MPa (KRIEDEMANN, 1986).

ELFVING, KAUFMANN y HALL (1972) puntualizan que cuando el potencial mátrico del suelo decrece, la conductividad hidráulica (inversamente relacionada con la resitencia al flujo) del suelo decrece rápidamente y puede reducir el flujo del agua del suelo a la planta. Ellos observaron que el colapso de la zona de la corteza de las raices durante periodos de estrés hidrico en el suelo aparentemente aumentaba la resistencia al flujo de agua en las raices.

Una disminución en la conductividad hidráulica del suelo y un aumento en la resistencia de la raiz en condiciones de sequedad de éste pueden explicar porqué el potencial de presión en el xilema en hojas de palto está separado de la transpiración cuando los árboles están sometidos a estrés con bajos potenciales mátricos del suelo (KAUFMANN, 1974).

Durante la transpiración rápida, bajo condiciones de cultivo, la demanda foliar por humedad usualmente excede el contenido de agua en la zona de las raices unido a una baja conductividad hidráulica provocando la pérdida de la continuidad suelo - planta - atmósfera (KRIEDEMANN, 1986).

Estas especies tienen un ineficiente sistema de transporte de agua, con una caida en los potenciales en la hoja y un aumento en los rangos de transpiración (CAMACHO-B, HALL y KAUFMANN, 1974). SCHOLEFIELD et al. (1980) y WHILEY (1986) describen cambios diurnos en los potenciales de agua en la hoja. WHILEY, CHAPMAN y SARANAH (1988) muestran que ocurre deficit de agua en las hojas durante el periodo iluminado, aunque el suelo no limite su abastecimiento.

El papel de la hoja como árgano intesintético es bien conocido (BAZZAS <u>et al.</u>, 1979, citado por BOZZOLO ,

BOWER, WOLSTENHOLME, y DE JAGER (1985) encerraron 1993). paltos una cámara y determinaron rangos en fotosintesis, estado interno del agua, y la conductividad de los estomas bajo cambios de radiación y de (SCHOLEFIELD, 1977). temperatura Estos autores concluyeron que las condiciones optimas para fotosintesis ocurrian a una temperatura de 20-24 90 la hoja y a una radiación aproximada de 300 Wm-2. EL estrés hidrico afectó la fotosintesis a través de 1a conductividad estomal. Más recientemente el papel 1a actividad fotosintética en el crecimiento del fruto también ha sido estudiado (BAZZAS et al., 1979, citado por BOZZOLO, 1993).

Las hojas tienen una gran densidad de estomas (40000-73000 por cm² (WHILEY, CHAFMAN y SARANAH, 1988), aunque una limitada red vascular; una gran eficiencia cuántica con un ligero punto de compensación para una fotosintesis neta de 63 umole quanta/m²/s y una saturación luminica de 20-25 por ciento de luz solar total (SCHOLEFIELD et al, 1980); y una eficiencia fotosintética limitada (5-9 umole CO2 /m² /s) (SCHOLEFIELD et al, 1980; SCHAFFER y HARANOWSKY, 1986; WHILEY, 1990a). El crecimiento de brotes esporádicos se produce en una canopia compuesta por hojas de edades y eficiencia variables (WHILEY, 1990a).

tardan casí 40 días en alcanzar la transición "sink"/fuente.

Las hojas también pueden almacenar grandes cantidades de carbohidratos y minerales que se reciclan durante los periodos de demanda (WHILEY, citados por GARDIAZABAL y ROSENBERG, 1991).

2.2.3. Sistema reproductivo.

Los paltos florecen al finalizar el invierno o a principios de la primavera, en su mayoria a partir de la yema ubicada al final del último brote vegetativo (Figura 2). Aunque un árbol maduro puede producir sobre 1.6 millones de flores (CAMERON, MULLER y WALLACE, 1952), el árbol está más predispuesto a un crecimiento vegetativo que a la producción de frutos. El rendimiento de frutos depende en principio del éxito de la iniciación floral, antesis, polinización y desarrollo del fruto.

NIRODY (1922), SEDGLEY (1977), SEDGLEY y ANNELLS (1981) y SEDGLEY y GRANT (1983) han escrito acerca del complejo ciclo de la floración del palto y su sensibilidad a la temperatura. Básicamente, las flores presentan una dicogamia protoginea sobre las 48 horas, siendo la primera apertura receptiva femenina y la segunda funcionalmente masculina. Los cultivares se dividen en dos tipos: tipo

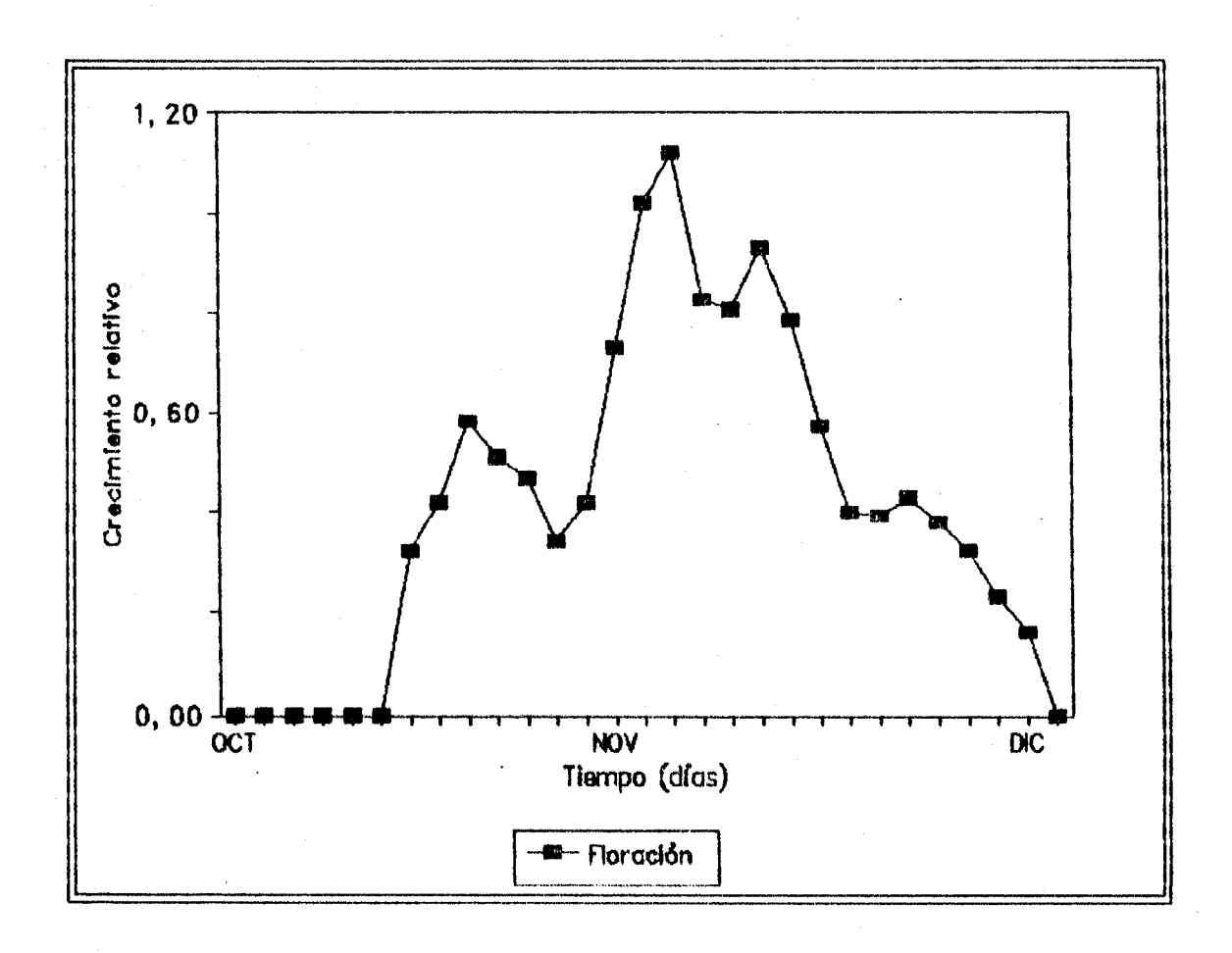


FIGURA 2. Floración en palto cv. Haass, Quillota, V Región, septiembre 1990 junio 1991 (HERNANDEZ, 1991).

"A", femenino en la mañana y masculino en la tarde, y tipo
"B", femenino en la tarde y masculino en la mañana
(GARDIAZABAL y ROSENBERG, 1991).

En palto, la floración es terminal en el último "flush" vegetativo y ocurre a fines de invierno y en primavera. La inflorescencia es clasificada como panícula cimosa (SCHOLEFIELD, SEDGLEY y ALEXANDER, 1985). Las flores presentan una alternada dicogamia (ROBINSON y SAVAGE, 1926, citados por HERNANDEZ, 1991) que es fuertemente influenciada por la temperatura (SEDGLEY, 1977; SEDGLEY y GRANT, 1983).

Así, el crecimiento floral en palto es el mayor evento de la fenología del árbol, con un aumento sustancial de los potenciales de demanda de agua durante el periodo critico de caida de fruta si ha ocurrido una significativa pérdida desde las flores (WHILEY, CHAPMAN y SARANAH, 1988). Además, en pétalos y sépalos no se presentan depósitos de cera epideral, por el contrario, éstos son altamente pubescentes. Si bien estos órganos muestran algunas barreras anatómicas que limitan la pérdida de agua, las flores favorecen el déficit, incluso durante periodos de moderada demanda transpiratoria (WHILEY, CHAPMAN y SARANAH, 1988; WHILEY et al, 1986; CAMACHO, HALL y KAUFMANN, 1974).

Mientras la interacción cultivar - ambiente tiene un

efecto dominante en el éxito de la floración del huerto, también el manejo puede tener un impacto en esta relación. El estrés en los paltos puede tener efecto un significativo en la floración. Este puede estar relacionado con el agua, los nutrientes, la carga la pudrición de la raiz por Phytophthora cinnamoni que tiene un efecto complejo en la fisiología del árbol (WHILEY et 1986; WHILEY et al., 1987). Así, la iniciación floral determina los potenciales del cultivo, realización de esos potenciales tiene un efecto sobre caida de la fruta y su subsecuente alargamiento. De esta manera las relaciones hidricas pasan a ser cruciales. caida de frutos. la caida prematura de ellos crecimiento limitado en cultivos establecidos, completamente atribuido а. contenidos de humedad subóptimos en el suelo. Bajo condiciones de alta demanda evaporativa, como comúnmente ocurre en regiones semiáridas durante la primavera, la humedad en la zona de las raices puede ser inadecuada para mantener el turgor en órganos aéreos a pesar del riego frecuente (KRIEDEMANN, 1986).

TELLO (1991) señala que la tasa crecimiento de los frutos varía a través del tiempo (Figura 3). En la primera etapa desde enero a fines de abril, la tasa de crecimiento es más acelerada. Durante este periodo existen temperaturas y evapotranspiración potencial altas que inciden en una gran

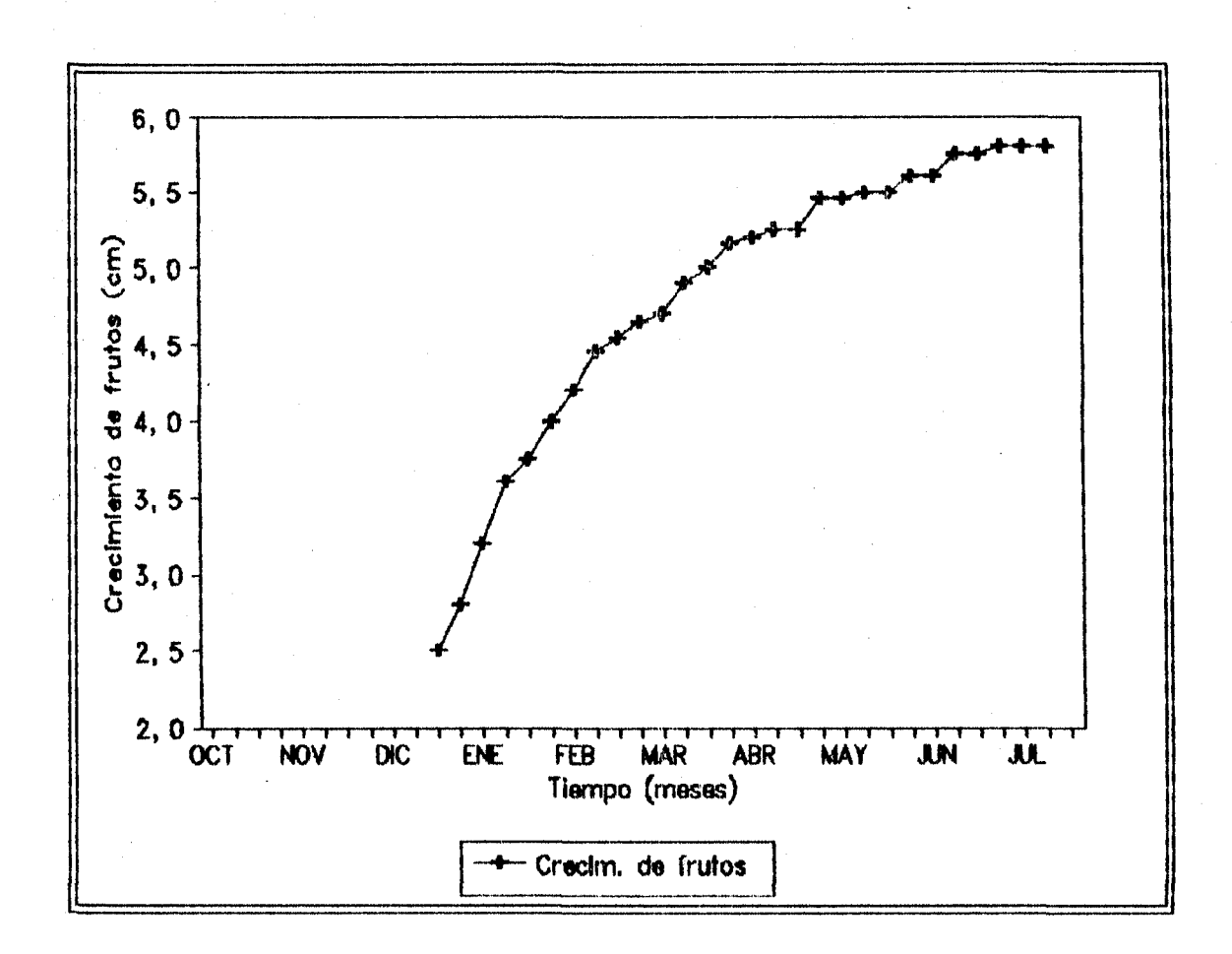


FIGURA 3. Crecimiento de frutos de palto cv. Hass, Quillota, V Región (TELLO, 1990).

actividad fotosintética, la cual produce los elementos nutricionales requeridos por los "sink" existentes. En esta etapa un "sink" importante son los frutos en desarrollo que experimentan división y elongación celular activa. Otro "sink" importante que participa de la competencia por nutrientes es el "flush" de crecimiento vegetativo, éste es más fuerte comparado con el producido por la floración y por frutos en sus primeras etapas de desarrollo.

2.3. Patrón cíclico del crecimiento en una temporada:

La fenología describe los patrones cíclicos de crecimiento que se dan en los árboles anualmente. También permite reconocer interacciones competitivas entre los variados componentes del mismo. Al igual que ocurre en la mayoría de los árboles de hoja persistente, incluyendo el palto, un fuerte estimulo ambiental sincroniza el crecimiento y la floración, pero no existe un período fisiológico de inactividad (VERHEIJ, 1986).

WHILEY et al. (1986) han descrito los ciclos típicos de crecimiento anual de los órganos vegetativos y reproductivos del palto. Estos presentan dos "flushes" vegetativos de importancia (períodos de extensión del brote) en una temporada de crecimiento completo (Figura

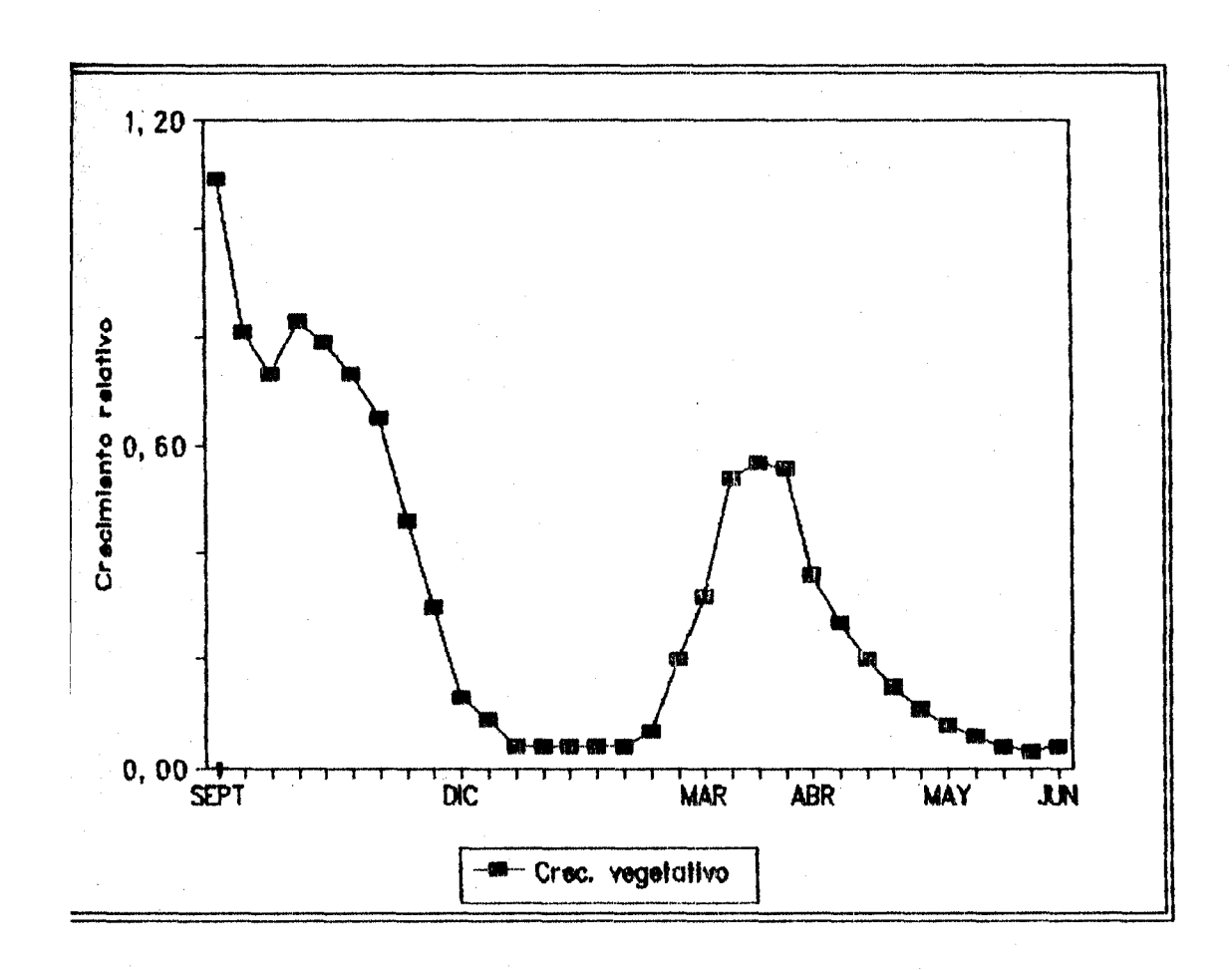


FIGURA 4. Crecimiento vegetativo en palto cv. Hass, V Región, septiembre 1990 junio 1991 (HERNANDEZ, 1991).

4), uno de ellos seguido por un período de cada intensificación del crecimiento de la raiz. El desarrollo del primer brote vegetativo comienza en la primavera, hacia e1final de la floración. EI crecimiento reproductivo comienza después de un corto periodo de semi-receso del árbol con un desarrollo del brote, antesis y formación del fruto. La floración es un evento de importancia en la fenología del palto, contribuyendo en un 8% a la producción total de materia seca en un completo de crecimiento (CAMERON, MULLER y WALLACE, 1952) y nutrientes móviles de las hojas (WHILEY, citados GARDIAZABAL y ROSENBERG, 1991). Inmediatamente después de la formación del fruto, se da una caída del mismo. Esta caida coincide con el crecimiento del brote de primavera.

El éxito de la formación de frutos durante los primeros 60 posteriores а la floración depende la disponibilidad de los fotosintatos almacenados, 1 3 fotosintesis del momento (brotes de hojas maduras en verano) y del tiempo de transición de "sink" a fuente de los brotes durante la primavera, que es necesaria para e1desarrollo secundario de las paltas. La magnitud 1asegunda caida de frutos al comienzo del periodo verano, en la etapa de crecimiento, está correlacionada directamente con la retención de fruta al madurar repentinamente en primavera (WHILEY, RASMUNSSEN SARANAH, 1991). Parece no haber relación entre la caída de

la fruta en ese período y el crecimiento repentino verano. WOLSTENHOLME, WHILEY y SARANAH (1990) demostrado que las condiciones ambientales desfavorables durante ese tiempo aumentan las tasas de caida de fruta. Sin embargo, es probable que el mayor impacto respecto de esta pérdida sea la limitación de recursos que presenta antes de finalizar la madurez repentina de primavera (WHILEY, RASMUNSSEN y SARANAH, 1991). esto que se producirian dos épocas de caida de fruto forma natural. La primera coincidente con un crecimiento de brotes de primavera y luego una segunda, esta con el inicio de un nuevo "flush" coincidiendo de crecimiento vegetativo en verano (WHILEY, CHAPMAN y SARANAH, 1988).

El brote de verano es sin duda alguna, importante para el tamaño final del fruto, como también lo es para la fuente de fotosintatos y nutrientes de las producciones de los años siguientes (GARDIAZABAL y ROSENBERG, 1991).

2.4. Requerimientos hidricos del palto:

Un programa adecuado de riego consiste en aplicar la suficiente cantidad de agua por árbol, de manera que no experimente estrés y se minimicen las pérdidas por percolación profunda (POST y PECK, 1983).

Como etapas criticas en la fenología del palto se deben considerar aquellas en que cualquier desbalance ocasionado por algún factor de producción afecte en forma negativa las cosechas o la calidad de éstas (BOZZOLO, 1993).

La cantidad de agua que necesitan los paltos es menor durante el periodo invernal de semiactividad, cuando las funciones de crecimiento son minimas. Sin embargo, con los cultivares de maduración tardia, por ejemplo Hass, aún hay crecimiento en esa época, por lo que no se debe restringir el agua.

En una temporada de crecimiento completa los paltos muestran un patrón doble de crecimiento, existiendo una interdependencia entre el desarrollo de los brotes (uno de primavera y otro en verano) seguido por el de las raices. Los requerimientos de agua durante el invierno, mientras los árboles se encuentran en semidormancia, son bajos pués las funciones de crecimiento son minimas (DU PLESSIS, 1991; WHILEY, CHAPMAN y SARANAH, 1988).

El riego es fundamental a partir de la primavera ya que en Esta época se presentan la iloración, la cuaja y el desprendimiento de frutos. La presencia de estas estructuras y eventos provocan que la transpiración exceda a la absorción de agua y su translocación en la planta

durante el día. El desbalance parcial de agua puede afectar negativamente la productividad y calidad final de los frutos (LAHAV y KALMAR, 1983).

Los requerimientos de agua aumentan sustancialmente la floración reflejando tanto 1a incrementada superficie susceptible a pérdidas de aqua (WHILEY, CHAPMAN Y SARANAH, 1988) como un mayor estrés ambiental impuesto la primavera. El manejo del agua en el huerto durante durante la floración puede ser crucial para la formación de frutos, en especial si los árboles están plantados limos arenosos con poca retención de aqua. Cuando el aqua es limitada, las panículas de flores son las primeras en percibir estrés y pueden sufrir un daño permanente (GARDIAZABAL y ROSENBERG, 1991). Es sabido proceso de iniciación floral depende de una interacción necesaria, en espacio y tiempo, de hormonas endógenas y de otras sustancias sintetizadas por la planta a través de la fotosintesis. Un desarrollo normal de las flores requiere los elementos adecuados en un determinado equilibrio (WESTWOOD, 1982), además de un buen abastecimiento hidrico, pues la floración contribuye significativamente a la pérdida de agua por transpiración a través de superficie epidermal, alcanzando en cv. Fuerte al 13% arbol (WHILEY, CHAPMAN y SARANAH, 1988). Estos autores señalan que las pérdidas de agua en hojas y segmentos de

la panicula observados en condiciones ambientales controladas, muestran dos distintos estados. Primero. declinación de las pérdidas de agua que una rápida verifican durante el cierre de los estomas y segundo, estado lineal pero constante de pérdida de aqua verifica cuando los estomas están cerrados pero, 1a presión de vapor saturada dentro de lo órganos se mantiene constante (SINCLAIR y LUDLOW, 1986). Esta contribución de estructuras florales al área total de la canopia, implican una importante pérdida de agua a través de estas Datos preliminares de superficies. mediciones del potencial mátrico en la zona radical de paltos muestran una rápida disminución de los contenidos de agua cuando la floración comienza (TROCHOULIAS, 1988, citado por BOZZOLO, 1993).

Bacia fines de primavera, el manejo del agua no es tan esencial. Sin embargo, no se debería permitir que los árboles lleguen a una situación de estrés excesivo, ya que se puede afectar la calidad final del fruto (BOWER, 1985). Según LAHAV y KALMAR (1977), cuando paltos cv. Hass experimentan estrés hidrico en primavera y otoño, sufren de una caida acelerada de frutos, mientras que en cv. Fuerte provoca frutos de menor tamaño.

MEYER <u>et al</u>. (1990) observaron que hay un aumento significativo en la producción debido al suministro de

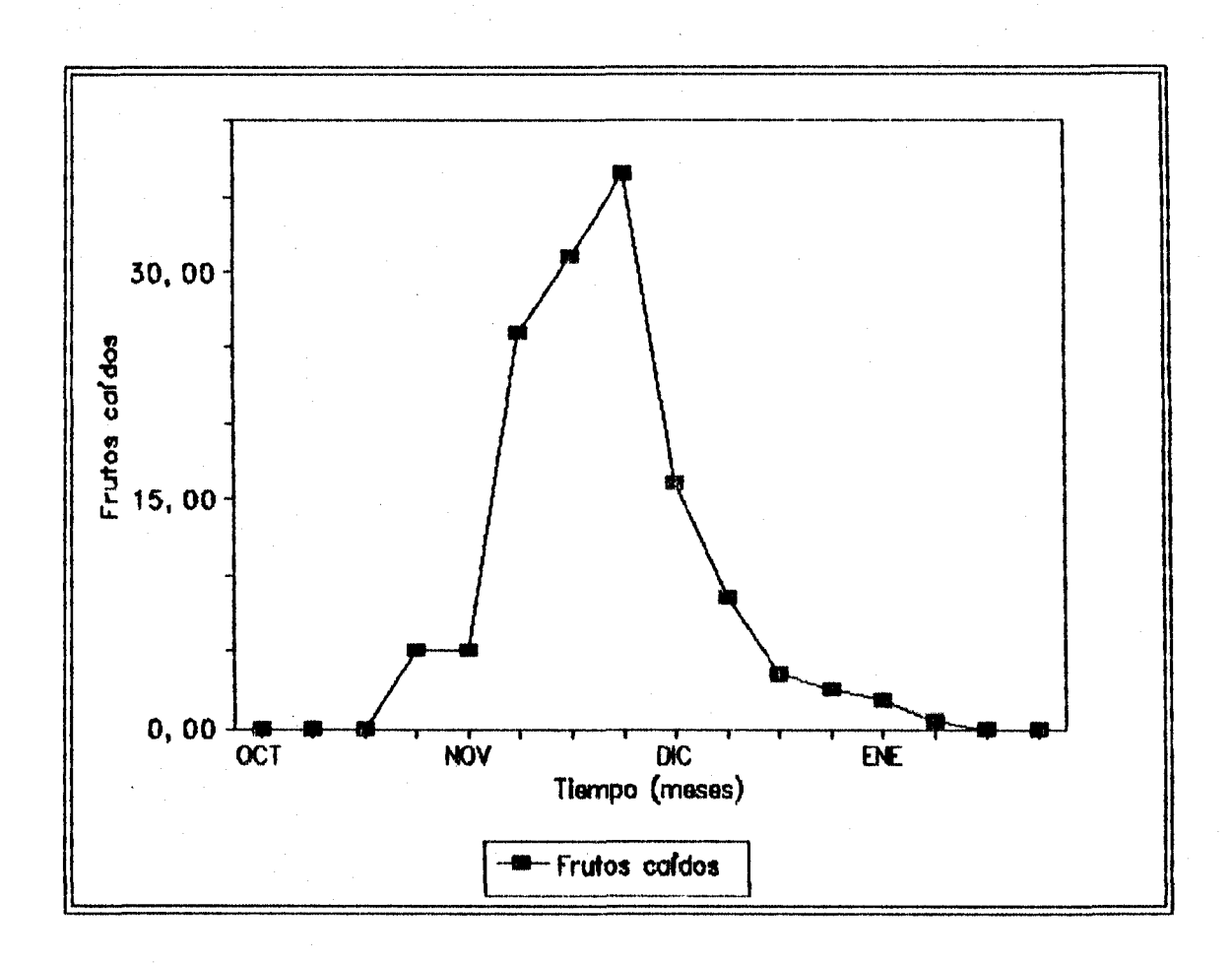


FIGURA 5. Periodo de caida de frutos de palto cv. Hass, Quillota, V Región (HERNANDEZ, 1990).

agua cuando se cosecha temprano en la temporada ya que se evitaria el desprendimiento de fruta provocado por competencia. Esto estaria demostrando que las prácticas de riego pueden influir en forma significativa en los impactos económicos, siempre y cuando se acompañen de correctas prácticas culturales.

La segunda etapa de la caida de la fruta en el crecimiento el periodo más critico 68 para la administración del agua. Esta es una etapa de ajuste de la plantación durante el verano donde pueden ocurrir días de estrés extremo. Si bien un buen riego durante este período no evita la caida de la fruta, un suministro agua adecuado aminora el impacto del ajuste de la carga en el rendimiento final. Sin embargo, WHILEY, CHAPMAN y SARANAH (1988) en Australia, describen dos periodos marcados en que la tasa de desprendimiento de fruta altas. Al respecto, DURAND y DU PLESSIS acotan que el manejo del agua es más crítico en la última etapa de la caida acelerada de frutos. Agregan, además. que durante el período final en que el fruto comienza a crecer rápidamente, un manejo efectivo del riego reduce su caída y aumenta el tamaño final, de ellos. Aplicaciones abundantes de aqua durante éste período son fundamentales para estimular la etapa de crecimiento acelerado de frutos nuevos.

En Chile, esta situación ha sido descrita parcialmente por

HERNANDEZ (1991) y TELLO (1990) quienes señalan un sólo periodo con altas tasas de desprendimiento de frutos entre mediados de octubre y fines de diciembre (Figura 5) para luego continuar con la etapa de crecimiento acelerado de los frutos desde enero hasta fines de marzo (Figura 3).

La abscisión de frutos normales durante el período de desprendimiento se debería a la gran competencia ejercida entre ellos y los frutos de la temporada anterior; a la competencia con el crecimiento vegetativo que ocurre luego de la floración; a la sensibilidad a temperaturas extremas y; a daños causados por déficits hídricos a nivel de embrión (LOVATT, 1990; DURAND y DU PLESSIS, 1990; BOWER y CUTTING, 1986).

La competencia entre los frutos y los crecimientos vegetativo y radicular reducen las reservas de carbohidratos en la planta provocando el fenómeno de "producciones bianuales" que enmascaran los efectos del riego y otros manejos (DURAND Y DU PLESSIS, 1990; LOVATT, 1990; WHILEY, 1990b; BOWER y CUTTING, 1986).

Durante el último período de crecimiento y maduración rápidos, un riego efectivo reduce la caida del fruto y aumenta el tamaño final de éstas.

los tratamientos de riego diferenciados podrían adelantar la caida de frutos, pero no asi modificar su magnitud (LAHAV y KALMAR, 1983). Estos autores corroboran esto en sus ensayos realizados en la localidad de Akko, Israel, sobre tres cultivares (Hass, Fuerte y Ettinger) establecidos sobre un suelo arcilloso (63%), en que utilizando valores promedio de seis años no detectan diferencias en el número de frutos por árbol, así como tampoco en el peso de éstos.

La reducción en la tasa de crecimiento de los frutos disminuye las necesidades de riego mejorando la aireación del suelo y el desarrollo radicular. También minimiza la probabilidad de diseminación e infección con Phytophthora y no tiene efectos negativos sobre la inducción y la floración en primavera (LAHAV y KALMAR, 1983).

Evitar la competencia entre las diferentes estructuras reduciendo las tasas de crecimiento vegetativo en favor del reproductivo ya sea regulando el riego, la fertilización o usando reguladores de crecimiento aumentan la retención de fruta y su calidad (DURAND y DU PLESSIS, 1990; LOVATT, 1990).

2.5. <u>Efectos del riego</u>:

El riego y la fertilización son los principales factores de precosecha sobre la pudrición y la calidad de frutos.

El riego dentro de ciertos límites (80 a 120% de ETC) bajo las condiciones de Corona (EEUU) no tiene efecto sobre el calibre final de la fruta ni en su composición química. Sin embargo, los riegos con niveles de 120% de la ETC resultan en mayores producciones acumuladas al cabo de varios años (ARPAIA y EAKS, 1990). En este punto, TELLO (1991) señala que los mejores resultados en crecimiento vegetativo, desarrollo y calidad de frutos se lograrían con riegos dentro de ciertos límites (70 a 90 % ETC) bajo las condiciones de Quillota. Por otra parte, efectuar riegos con niveles del 120%, afectarían la calidad de los frutos destinados al mercado interno, pues obtendrían contenidos de aceite por debajo del rango óptimo de cosecha, 13 a 16%, planteado por MARTINEZ (1984).

BOZZOLO (1993) señala que no existe una relación entre el riego y los niveles de producción, debido en parte, a que las producciones bianuales se presentan con igual regularidad durante el período de la evaluación. Las láminas aportadas asegurarían níveles óptimos de producción, siempre y cuando se coseche temprano en la temporada para evitar el desprendimiento de fruta provocado por la competencia.

El uso de una cubierta de hojas (mulch) durante períodos de alta demanda atmosférica tiene efectos positivos disminuyendo las fluctuaciones térmicas diarias del suelo,

manteniendo mejor la humedad y promoviendo el desarrollo vigoroso de raices y raicillas (GREGORIOU y KUMAR, 1984). Además, mejora las características físicas del suelo aumentando el número de macroporos que mantiene el aqua y/o aire necesario para el crecimiento de las plantas. Los aumentan el contenido de materia suelos con mulch, orgánica lo que les otorga una mayor capacidad retentiva de aqua y mejor agregación, lo que implica una mejor estructura y aireación. Este aumento en la medida de los poros permite una mejor utilización de las primeras 12 pulgadas de suelo desde la superficie, las cuales son las más fértiles y mejor aireadas. Esta corresponde la zona en que las raíces de citrícos y paltos son más activas (TURNEY y MENGE, 1993). Debido a la mayor distribución superficial de las raicillas absorbentes por debajo de la cubierta de hojas, se sugiere que el sistema de riego usado debiera cubrír entre un 50 a un 70% de la superficie de la proyección de la canopía (GARDIAZABAL y ROSENBERG, 1991; KURTZ, GUIL y KLEIN, 1991; BOZZOLO, 1993).

El palto es marcadamente sensible a los efectos de la humedad del suelo debido a que su sistema radicular es superficial, pobre en número de raicillas y además susceptible a enfermedades (AVILAN et al., 1984). Un estrés determinado por altos contenidos de humedad en los

30 o 60 cm de suelo provoca eventuales problemas en radical limitando su crecimiento metabolismo el transporte activo de elementos minerales, de tal que existiria una menor producción de citoquininas y por menor transporte hacia la parte aérea, un desbalance con los níveles ocurriria abscísico, disminuyendo de esta manera en forma indirecta la fotosintesis y formación de aminoácidos y ácidos grasos a partir de los compuestos intermedios del ciclo ácido tricarboxílico (MARSHNER, 1986). Esto se debe a los mayores niveles de ácido abscisico producidos en desbalance. promueven un cierre estomal, viéndose disminuido el movimiento del agua a través del árbol. que en parte dependerá sólo, de la presión de raíz, ésta también se ve afectada al haber una menor acumulación de sales, lo que aminora el potencial osmótico (DEVLIN, 1980).

Dado tales circunstancias, el árbol presenta alteraciones debido a las aplicaciones de altos volúmenes de riego, que determinan un menor crecimiento de frutos. Este, queda definido por el aumento progresivo del tamaño de las vacuolas, las que se forman al inicio de la fase de crecimiento de las células y aumentan de tamaño conforme crecen (WESTWOOD, 1982).

El déficit de agua, nutrientes o pudrición de raices

adelantan la floración en más o menos seis ocho Esto puede reducir semanas. sustancialmente las formación oportunidades de de frutos, temperaturas desfavorables para el mecanismo de dicogamia. Además, se produce una disminución en las tasas crecimiento, lo que resulta en la acumulación de amonio en las hojas pudiendo llegar a níveles tóxicos produciendo sintomas como la quemadura de hojas (tip-burn) defoliación (BENDER y SAKOVICH, 1988).

Existen evidencias que asocian el déficit hidrico con un incremento en los niveles de ácido abscisico (LOVATT, 1990). Este aumento del ABA por sobre ciertos niveles durante el periodo critico causa desprendimiento de fruta o promueve los procesos senescencia en hojas y frutos de la temporada anterior. Además se ha observado que un exceso o déficit hidrico provocado durante los tres meses post-cuaja aumenta la incidencia de altos niveles de polifenoloxidasa (PPO) en frutos cosechados. Este aumento de PPO se debería al aumento del ABA ocasionado a nivel de las membranas celulares. Además del repentino aumento PPO. se observa una madurez anticipada frutos y un aumento en los indices de desprendimiento de 1990; BOWER, CUTTING y VAN LELYVELD, 1986; éstos (LOVATT, BOWER y VAN LELYVELD, 1986).

Por otra parte, se ha determinado que las diferencias en las tasas de crecimiento vegetativo, debido a distintas frecuencias de riego, para árboles en años de alta producción es mucho menor que aquellos en que se tuvo una baja producción (LAHAV, KALMAR y ZAMET, 1973), lo que demostraria que el "sink" realizado por los frutos resulta ser superior al del crecimiento vegetativo en tales condiciones (TELLO, 1991).

BOZZOLO (1993) determina que al relacionar las láminas de riego aplicadas cada año con sus respectivas producciones, no había asociación lineal en ninguno de los huertos analizados. WHILEY, RASMUNSSEN y SARANAH (1991) coinciden con SCHOLEFIELD, SEDGLEY y ALEXANDER (1985), en que tanto las producciones bianuales como las lluvias invernales enmascaran los efectos del riego y otros factores de producción. Al respecto, LOVATT (1990) plantea que en años en que la caida de frutos es abundante, se produce un crecimiento exuberante de los brotes, aumentando el tamaño, la eficiencia de la fotosíntesis y la superficie evaporante de la planta, generando una mayor demanda inmediata por agua.

En cuanto a las láminas de agua aplicadas, éstas asegurarian niveles óptimos de producción, siempre y cuando se coseche temprano en la temporada para evitar el desprendimiento de fruta provocado por la competencia

(BOZZOLO, 1993).

2.6. <u>Programación del riego en paltos (frecuencia y volumenes de riego)</u>:

DURAND y DUPLESSIS (1990) indican que los paltos requieren de riegos cortos pero frecuentes ya que aumenta los niveles de aireación del suelo, se reducen las pérdidas de agua por percolación y mantendrian un nivel óptimo en los períodos de máxima demanda.

LAHAV y KALMAR (1983) y KURTZ, GUIL Y KLEIN (1991) en Israel y GUSTAFSON et al. (1979) en California, encuentran que las altas producciones se asocian a riegos abundantes (538 a 828 mm por temporada) dependiendo del tipo de suelo y de los niveles de pluviometria y evaporación de bandeja para cada zona en particular.

Los instrumentos más usados para la programación de los riegos son los tensiómetros y las bandejas evaporimétricas. La frecuencia entre cada riego estará determinada por la capacidad que tenga el suelo de almacenar agua. Para la determinación de la frecuencia de los riegos usando tensiómetros se requiere de una curva característica de humedad la cual debe construírse para cada suelo. Con esta información se pueden estimar los

volúmenes de agua para llegar a capacidad de campo en la zona de crecimiento radicular (DU PLESSIS, 1991).

Se acepta mayoritariamente que la frecuencia de los riegos se determina por el nivel de agotamiento del agua en zona de mayor actividad radicular. Estos niveles pueden variar dependiendo de la capacidad de retención de humedad del suelo, el sistema de riego utilizado (por surcos, goteo o microaspersión), presencia de coberturas y distribución en profundidad de las raices. Se ha establecido que, independiente del sistema de riego usado, el limite de agotamiento hidrico durante el período crítico será de un 30 a un 60 por ciento del aqua aprovechable. Estos límites corresponden a potenciales mátricos de entre -25 a -50 KPa en suelos de texturas finas y -30 a -40 KPa en los de texturas gruesas. Regando con estos níveles se obtienen producciones y calidad de frutas aceptables y hay una reducción importante en severidad de los ataques de Phytophtora (DU PLESSIS, 1991; WHILEY, CHAPMAN y SARANAH, 1988; BOWER, 1985; BORST, 1984; LAHAV y KALMAR, 1983; LYMAN, 1982).

Durante el período critico, en aquellos sectores de texturas medias y con buen drenaje superficial e interno, se sugiere mantener potenciales mátricos de entre -15 y -20 KPa evitando que disminuyan de los -40 KPa (DURAND y DU PLESSIS, 1990; MARSH et al, 1978).

2.7. <u>Determinación de Evaporación de Cultivo (ETc) y</u>

Evaporación Potencial (ETo):

De todos los métodos para estimar la ETo el de la bandeja evaporimétrica es el más usado ya que permite medir los efectos ponderados de las variables que influencian la evapotranspiración como la humedad relativa, el viento, la radiación y la temperatura. Para estimar ETo se aplica un coeficiente de bandeja, Kb, determinado empiricamente que refleja los efectos de las condiciones de instalación sobre la evapotranspiración potencial. Así, la evaporación de bandeja (Eb) se relaciona con ETo en la siguiente expresión:

ETo = Eb * Kb (mm/dia)

Para las condiciones de Quillota, el valor de Kh se resume en el Anexo 8 en función del viento, la humedad relativa, la distancia a barlovento de la cubierta verde y las condiciones de instalación.

El coeficiente de cultivo, Kc, es en definitiva el que establece la relación entre la evapotranspiración potencial, ETo, y la real, ETc, de acuerdo a la siguiente expresión:

ETc = ETo * Kc (mm/dia)

Los Ko se obtienen en forma experimental y resumen el comportamiento de los cultivos en el sistema suelo-plantaatmósfera. integrando factores tales como caracteristicas. propias del cultivo, condiciones climáticas predominantes y la frecuencia de riegos y lluvias. El ritmo de desarrollo del cultivo es importante ya que el Kc varia a través del ciclo fenológico los mayores valores cuando el cultivo alcanza su máximo indice de área evaporante. Como el Kc se obtiene en forma experimental, es particular para cada uno de los cultivos y para las condiciones en que se obtuvo. El valor la evapotranspiración cultivo representa de un condiciones óptimas y que produce rendimientos máximos (DIAZ, 1988; DOOREMBOS y PRUIT, 1986).

ADATO y LEVINSON (1988) determinaron en Israel que usando un Kc de 0.46 y regando con goteros en forma intermitente, se lograron mejores efectos en las cosechas que usando un Kc de 0.64 con microaspersores en forma tradicional. Los resultados se atribuyeron a la capacidad de adaptación de los árboles a este sistema, evitando el déficit hidrico que provoca la disminución progresiva del potencial mátrico al ser menores las frecuencias de riego y período de anaerobiosis que se produce al reponer la lámina de

agua agotada.

LAHAV y KALMAR (1983) encontraron en Israel coeficientes de cultivo de 0.54 a 0.39 a partir de registros históricos mediciones del potencial mátrico hechas de COD tensiometros. Los ensayos practicados en CV. Hass demostraron que usando el coeficiente mayor a partir primavera y el menor en otoño los resultados al evaluar las cosechas son mejores que usandolos forma e n independiente.

iqual forma MEYER et al. (1990) calcularon coeficientes de cultivo mensuales para palto en la zona de Corona en San Diego, EEUU (Cuadro 1). Su determinación se hizo a partir de la evapotranspiración potencial (ETo) นท cultivo de poáceas alrededor de la estación meteorológica y la evapotranspiración del cultivo (ETc) de paltos. Los Ko determinados presentan un comportamiento simétrico a medida que avanza la temporada a partir primavera hasta el período de máxima demanda en verano (Kc = 0.55 en junio y julio en el hemisferio norte) para volver a disminuir hacia el otoño e invierno (Ko = 0.35 en Al cabo de tres años de evaluación económica los mayores beneficios se obtuvieron al regar con el 100% de la ETc (TAKELE et al., 1991).

MOZZOLO (1993) encontró que no había una tendencia

significativa al comparar distintos valores de ETC y los niveles de producción acumulados durante un período de seis años de estudio, lo que indicaría que, con láminas de riego altas (4463,7 m3/ha) se obtendrían mayores cosechas. Este mismo efecto fue descrito por MEYER et al. (1990) en que láminas de un 120% de la ETC produjeron mayores cosechas acumuladas. Sin embargo, 80ZZOLO (1993) señala que durante el período de evaluación, el tratamiento que aplicaba menores láminas, presentaba la mayor producción, por lo que no se puede descartar que con aplicaciones de láminas de riego menores se logren buenos resultados.

CUADRO 1: Coeficientes de cultivo (Kc), para paltos, obtenidos de los datos de CIMS, California, EEUU.

MES	Кc
Enero	0.35
Febrero	0.40
Marzo	0.45
Abril	0.45
Mayo	0.50
Junio	0.55
Julia	0. 55
Agosto	0.50
Septiembre	0.45
Octubre	0.45
Noviembre	0.45
Diciembre	0.40

(Fuente: MEYER et al., 1991).

2.8. Aspectos a considerar en el uso de tensiómetros y bandejas evaporimétricas:

Desde el punto de vista científico los tensiómetros son ideales como instrumentos de registro y programación de riegos porque el nivel de humedad en la zona de las raíces es medido directamente. Dentro de las principales desventajas que presentan están el gran número que de éstos se requiere, en especial donde los suelos son muy variables, donde las plantaciones son extensas o corresponden a especies o cultivares con diferentes requerimientos hidricos (80220LO, 1993).

El uso de los datos proporcionados por la bandejas pueden ser usados en forma referencial para las demandas de un cultivo a implantar cuyo Kc haya sido previamente determinado. Esto quiere decir que servirá para tener una idea de cuánta agua se debe disponer potencialmente para un cultivo en su período de máxima demanda (80220LO, 1993).

los Ko se basan en la relación entre las necesidades de agua del cultivo y el clima de una zona y un periodo en particular. La exactitud de este método depende de los resultados de las investigaciones para cada zona en

particular. En general, se han realizado pocos trabajos para determinar el uso de los coeficientes de cultivo y los que existen deben ser ensayados por mucho tiempo más (DU PLESSIS, 1991; GOODALL, 1987).

ts así como el Kc no entrega información sobre los niveles de retención de agua del suelo o la planta pero, presenta la ventaja de que es fácil de aplicar. En algunas condiciones particulares una de las desventajas de su uso es que el suelo puede secarse progresivamente si el Kc es muy bajo o sobresaturarse si es muy alto. Ahora bien, si suponemos un suelo con un nivel freático alto (a nivel de las raices) el uso de bandejas indicará una lámina a aplicar que sólo aumentará los problemas derivados de la asfixia (DU PLESSIS, 1991; SLABBERT, 1987).

3. MATERIAL Y METODO

3.1. Ubicación:

El presente estudio se realizó en el huerto de la Estación Experimental "La Palma", perteneciente a la Universidad Católica de Valparaiso y el tundo "La Palma" perteneciente a la misma universidad ubicados en la comuna de Quillota, V Región, Chile, correspondiente a 32250' latitud sur y 71213' longitud oeste.

3.2. Caracterización del sector de estudio:

3.2.1. Clima.

La condición de Quillota corresponde a un clima meditarráneo, ubicado en la zona de los valles transversales que se caracterizan por tener veranos secos y cálidos bien definidos, influenciados por vientos alisios o por vientos subtropicales variables. Los inviernos se presentan lluviosos debido a la acción del trente polar (NOVOA et al., 1989).

De acuerdo a la clasificación climática de Kõepen, Quillota está dentro de la categoría Cabl, que corresponde a clima templado cálido con estación seca prolongada (7 a 8 meses), con temperatura media anual superior a 10ºº por más de cuatro meses (NARTINEZ, 1981).

El régimen térmico de esta zona se caracteriza por una temperatura media anual de 15,30°C, con una máxima media del mes más cálido (enero) de 27°C y una minima media en el mes más frio (julio) de 5,5°C (NOVOA et al., 1989). El período de heladas está concentrado en los meses invernales y la ocurrencia de ellas es escasa y de corta duración (CHILE, MINISTERIO DE AGRICULTURA, 1966). La suma anual de temperaturas base 5°C es de 370°O grados día y con base 10°C, 190°O grados día (NOVOA et al., 1989).

En la zona de Quillota se registran temperaturas inferiores a 0ººº durante los meses de invierno. Estos sucesos son de corta duración, lo que posibilita el cultivo de especies frutales y hortícolas susceptibles a daños por bajas temperaturas (MARTINEZ, 1981).

Debido a la escasa pluviometria en los meses de abril, septiembre y octubre y a la carencia de ésta desde noviembre a marzo, existe un periodo de sequia de 8 meses (CHILE, MINISTERIO DE AGRICULTURA, 1966).

La humedad relativa de la zona es más bien alta, siendo uniforme a lo largo del año (entre 67 y 83%), presentándose en forma más alta en los meses de invierno

(83%) y durante las primeras horas de la mañana (MARTINEZ, 1981).

3.2.2. Suelo.

El suelo de la Estación Experimental "La Falma" pertenece a la serie La Palma, cuyo signo cartográfico es M, según estudio agrológico realizado por el Departamento de Conservación de Suelos y Aguas del Ministerio de Agricultura en 1966 (MARTINEZ, 1981)(Anexo 1).

El suelo es sedimentario, profundo, de origen coluvial, formado a partir de sedimentos graniticos de la formación granitica de los cerros ubicados al este del predio. De textura superficial franca arcillosa, de color pardo y de textura arcillosa de color pardo rojizo oscuro en profundidad. El substratum está constituido por gravas y piedras con material intersticial que le otorga una permeabilidad moderada y buen drenaje. La topografía es plana, en posición de plano inclinado y microrrelieve ligeramente acentuado. Se clasifica en Clase II de Capacidad de Uso (CHILE, MINISTERIO DE AGRICULTURA, 1966).

1.2.3. Agua.

La Estación Experimental posee derechos sobre el canal dvalle, el cual es abastecido por el río Aconcagua. Este, de régimen tipicamente nival, durante el invierno recibe en la primera zona (Los Andes-San Felipe), las precipitaciones fundamentalmente en forma de nieve, las cuales escurren principalmente en la primavera, cuando aumenta la temperatura. El agua de riego no presenta peligro de sodificación ni de cloruros que signifiquen limitación en su uso (MARTINEZ, 1981) (Anexo 2).

3.3. Material Experimental:

3.3.1. Caracterización de los árboles.

En el ensayo se utilizarón paltos (<u>Persea americana Mill.</u>) cultivar Hass, plantados a una distancia de 10 m entre hilera y 10 m sobre hilera, homogéneos según tamaño, vigor y sanidad, teniendo en cuenta que la homogeneidad es un aspecto relativo debido a la variabilidad que confiere el uso de un portainjerto de tipo franco. De aquellos que presentaban similar vigor y tamaño, así como buena sanidad y carga, se seleccionaron tres árboles en el sector 16 de la Estación Experimental de la Facultad de Agronomía regados por microaspersión, con dos

microaspersores por árbol con gasto aforado de 36 l/h y otros tres árboles en el sector del Fundo "La Palma" regados por goteo, con 14 goteros por árbol en dos lineas de siete unidades cada una , con gasto aforado de 3,6 l/h.

3.4. <u>Metodologia de trabajo:</u>

El estudio busca evaluar el efecto sobre el crecimiento y distribución de raices a través del uso de dos sistemas de riego presurizado (goteo y microaspersión) aplicados a paltos (Persea americana Mill.) cv. Hass en alta producción.

3.4.1. Determinación del patrón de uso y consumo del agua.

A modo de entregar resultados más específicos de la forma como el árbol obtiene el agua desde el suelo, se determinó el patrón de distribución uso consumo mediante la utilización de un tensiómetro de lectura instantánea, de manera de relacionar los cambios de tensión del agua en el suelo con la absorción realizada por las raices absorbentes. Las mediciones se realizaron un dia después del riego y un dia antes del siguiente. La metodología de la medición fue a través de la confección de una red de puntos ubicados cada 0.5 m en

una distancia de 20 m que comprende un total de tres árboles y cuatro microaspersores (Figura 6). Para el caso del sistema de riego por goteo, se procedió de igual manera pero la red de puntos comprendió una distancia en sentido norte-sur de 7 m que va paralela a la linea de riego, y otra red de puntos de 7 m de longitud que va en el sentido perpendicular a la linea de riego (Figura 7). Estas mediciones se efectuaron en ambos sectores a una profundidad de 30 y 60 cm, respectivamente.

3.4.2. Determinación de la descarga del microaspersor.

Para el caso del sistema de riego por microaspersión, se midió la precipitación real de cada uno los microaspersores, en puntos ubicados a 0.5 desde tronco. Para la medición se utilizaron vasos de boca ancha de modo de abacar la mayor superficie posible y así poder captar el máximo de precipitación. El tiempo que duró labor comprendió el tiempo que involucra efectuar un riego normal del huerto.

Norte -» Sur

Arbol Nº1 ****************** Arbol Nº2

Arbol N°2

FIGURA 6: Diagrama que muestra la distribución de los puntos en que fueron medidas las tensiones para el sector regado por microaspersión donde corresponde al microaspersor y corresponde a cada punto de medición cada 0,5 m.

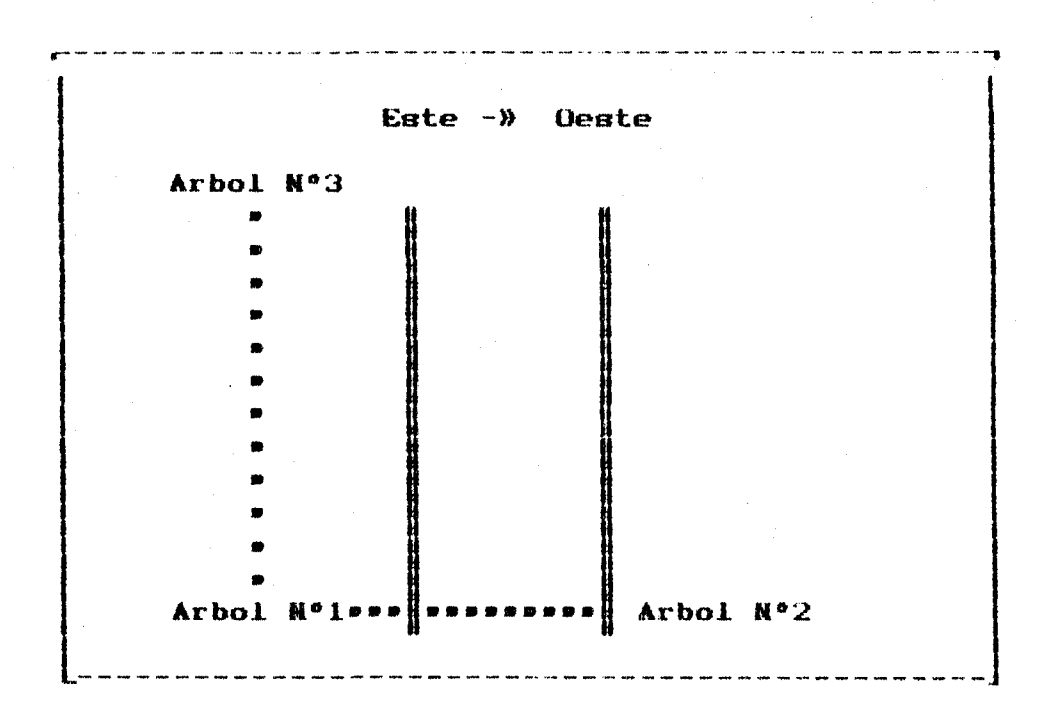


FIGURA 7: Diagrama que muestra la distribución de puntos en que fueron medidas las tensiones para el sector regado por goteo donde | corresponde a la linea de goteo y « corresponde a los puntos de medición cada 0,5 m.

3.4.3. Descripción y evaluación del crecimiento de raices.

A modo de poder interpretar el desarrollo radicular en función al sistema de riego utilizado, como también con la distribución del agua en el perfil en la sección de influencia de los emisores, se realizó una prospección de raíces. Se realizó a través de la confección de una zanja (Figura 8 y Figura 9) que abarcó la mayor superficie de suelo en que supuestamente deberíamos encontrar raíces, cuyas medidas fueron de 60 cm de profundidad, 40 cm de ancho y un largo de 3,5 a 4 m desde el tronco.

La cuantificación se realizó a través de una cuadricula de 500 cm² (Figura 8) de la que se evaluaron el 10% de los sectores los que fueron elegidos en cada punto de medición a través del uso de una tabla de números aleatorios a fin de no tener influencia en la elección de los puntos de medición. En cada cm² se contó el número de raíces de diámetro inferior a 2 mm (ADATO y LEVINSON, 1991) para finalmente calcular un promedio de los 50 cm² por cuadrante de la medición en cada una de las estratas.



FIGURA 8. Fotografía que muestra la cuadrícula utilizada para la cuantificación de raíces absorbentes y su manera de ubicarla en el perfil del suelo.

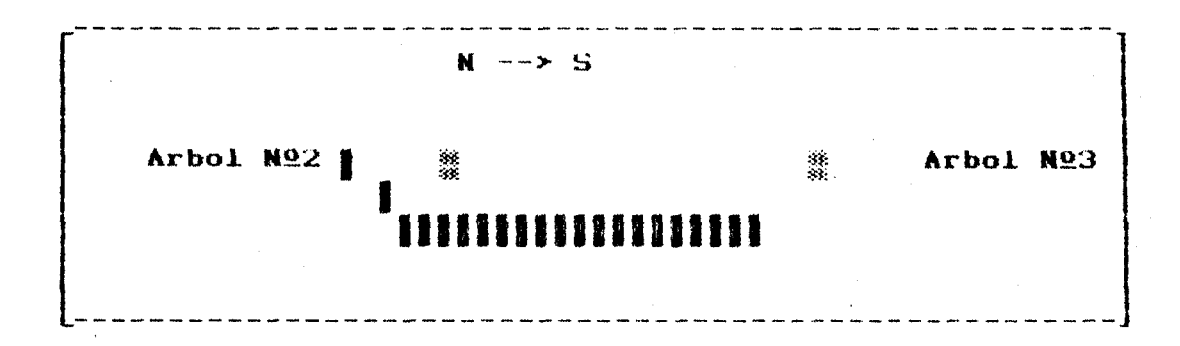


FIGURA 9. Diagrama que muestra la orientación de la zanja confeccionada en el huerto regado por microaspersión para analizar el desarrollo de raices donde se corresponde al microaspersor y 111 a la zanja.

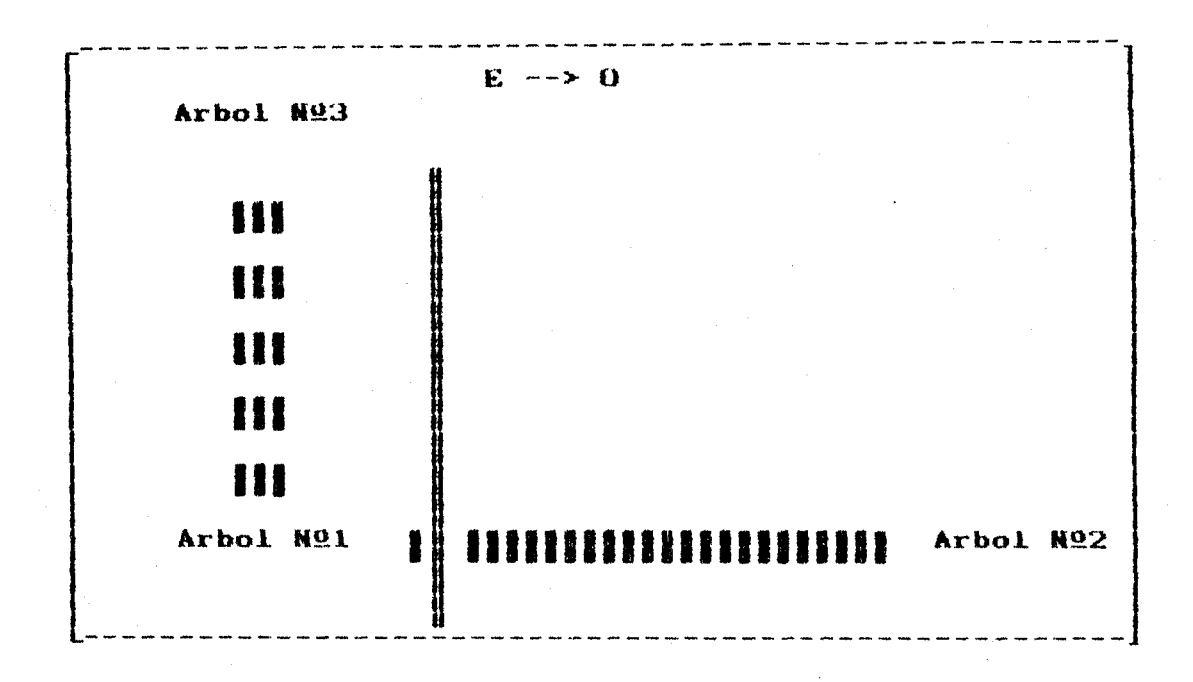


FIGURA 10. Diagrama que muestra la orientación de las zanjas realizadas en el huerto regado por goteo para la prospección de raices, donde proceson de corresponde a la linea de goteo y corresponde a las zanjas.

3.4.4. Obtención de registros.

3.4.4.1. Registros del riego.

Los registros de las frecuencias y los tiempos de riego se obtuvieron de los datos acumulados en los dos cuarteles, uno perteneciente a la Estación Experimental de la Facultad de Agronomía y el otro al Fundo "La Palma" perteneciente a la Universidad Católica de Valparaíso entre enero de 1993 y diciembre de 1993 (Anexo 8 y Anexo 9).

La programación de los riegos fue realizada en base al uso de una batería de tensiómetros, establecidos a 30 y a 60 cm de profundidad para ambos predios.

Los dos huertos estudiados disponen de distintos de la Estación Experimental emisores. El presenta microaspersores con un gasto aforado de 36 l/hr y 6.2 m mojamiento, siendo dos emisores por de diámetro de planta. El cuartel ubicado en el fundo, presenta riego por goteo, siendo 14 goteros con gasto aforado de 3,6 l/hr en dos lineas ubicadas a 1.5 m desde el tronco, y los goteros a 1 m sobre la linea uno del otro.

El riego en el huerto regado por microaspersión se efectúa cuando el tensiómetro de 30 cm marca 25 ch y el tiempo que dura esta labor está determinada en función a las

mediciones de la evaporación de bandeja acumuladas durante los siete días anteriores medidas en la Estación Meteorológica de la Facultad de Agronomía considerándose un Kc que se resume en el Anexo 8.

Para el huerto regado por goteo, no se utilizan los datos de evaporación de bandeja, como tampoco los Kc. Por lo tanto, se riega día por medio por un tiempo aproximado de 7.5 horas.

3.4.4.2. Registros climatológicos.

Se obtuvieron los datos de evaporación de bandeja Clase

A, la pluviometria y las temperaturas máximas y minimas a
partir del mes de enero de 1993 hasta diciembre de 1993

(Anexo 3).

3.4.4.3. Registros de cíclo fenológico.

Los registros de ciclo fenológico del palto para la zona ďe Quillota se obtuvieron de las mediciones del crecimiento vegetativo, radicular desarrollo y reproductivo realizadas por HERNANDEZ (1991)У (1990). Además, se utilizó como referencia, fenológico propuesto por WHILEY (1988) en la zona Queensland, Australia.

3.4.4.4. Caracterización del suelo del huerto de paltos.

Los dos cuarteles de los cuales se obtuvieron los registros de riego están ubicados en un suelo depositacional de origen coluvial. Ambos presentan pendiente que oscila entre el 2 a 2.5%, aproximadamente. Mediante calicatas ubicadas en cada uno de los cuarteles, equidistantes а los emisores, a las baterías tensiómetros y al tronco de los árboles, se realizó descripción del perfil en profundidad (Anexo 4 y Anexo 5).

3.4.4.5. Determinación de la densidad aparente y confección de la curva característica de humedad.

Se determinó la densidad aparente en el Laboratorio Suelos de la Facultad de Agronomia de la Universidad Católica de Valparaíso para lo cual se extrajo muestra de suelo con barreno de tarro de la primera segunda estrata del suelo de la Estación Experimental y de la primera estrata para el suelo del fundo "La Palma" se pesaron y secaron en un horno a 10590 cuales horas. se analizó la segunda estrata en el huerto por goteo ya que existe una excesiva cantidad de piedras de gran tamaño (Anexo 5) que impide extraer un volumen minimo de suelo necesario para el análisis.

Se determinó la curva característica de humedad para cada una de las muestras a diferentes tensiones que se obtuvieron a través del uso del tensiómetro de lectura instantánea.

4. PRESENTACION Y DISCUSION DE RESULTADOS

4.1. Análisis de los registros climatológicos:

De los registros climatológicos, los de mayor relevancia corresponden a los de las temperaturas máximas y minimas registradas durante el período desde fines de otoño a inicios de primavera. Su importancia está referida a la alta sensibilidad de esta especie subtropical a las bajas temperaturas.

Durante este periodo, se registraron temperaturas inferiores a los 02C, durante los meses de julio y agosto (Anexo 3) las que se tradujeron en daños severos sobre el crecimiento vegetativo de los paltos cv. Hass. Dado que el estudio comprendió el análisis de dos sistemas de riego implementados en dos huertos diferentes, cabe señalar que a pesar de encontrarse ambos en una zona de piedmont y sobre un suelo franco arenoso, los daños por heladas se observaron con mayor intensidad en el huerto regado por microaspersión.

For otra parte, las temperaturas toman gran importancia durante el periodo de floración en la primavera, principalmente para que se verifique el fenómeno de dicogamia. Al respecto ZAMET (1991) indica que durante la floración y cuaja, períodos de cinco a seis días con temperaturas minimas de 1000 o mayores a 4500 los níveles de producción son bajos. De los registros de temperatura, se desprende que durante octubre y noviembre de 1993, temperaturas minimas no fueron inferiores a 390 ní superiores a 33,69C. Las temperaturas minimas promedio octubre y noviembre fueron de 7,27 y 7,400. En el de ocurrencia, BOZZOLO (1993) señala que al correlacionar las temperaturas minimas durante el periodo de floración efectiva con las producciones para cada temporada en zona de Quillota, V Región, no hay asosiación lineal. AL respecto, en una estudio visual de la condición de log árboles durante el período de floración y luego en primera etapa de crecimiento de frutos para la primavera de 1993, se observa una errática carga frutal en el huerto regado por microaspersión.

HERNANDEZ (1991) sostiene que aunque las condiciones necesarias para el que el funcionamiento del mecanismo de dicogamia no estén presentes, la producción bajo las condiciones climáticas de la zona de Quillota debería estar asegurada.

De lo observado, se desprende que la errática floración seria un ejecto más relacionado con la pérdida de brotes vegetativos por acción de las heladas invernales que por causa de las temperaturas minimas en octubre y

noviembre. Al respecto cabe recordar que la floración en paltos es terminal en el último "flash" vegetativo de la temporada (SCHOLEFIELD, 1982).

4.2. Análisis del riego:

EL riego, busca satisfacer las demandas evapotranspirativas, que dependen de las condiciones ambientales y de las necesidades de uso de las plantas (SALGADO, 1991). Al respecto, WHILEY, CHAPMAN y SARANAH indican que con un aumento progresivo de las temperaturas del suelo al avanzar la primavera y al efecto ejercído por la brotación y floración sobre la activación del sistema radicular, se produce un aumento en la capacidad de absorción de agua. Más adelante, al final de la temporada cuando las temperaturas del suelo disminuyen por debajo de los 1890, el crecimiento de las raices reduce progresivamente al igual que los brotes y los frutos, disminuyendo las demandas por aqua hasta la siquiente temporada.

Al comparar los valores de las láminas mensuales aplicadas en ambos huertos, las mayores corresponden al riego por goteo. En ambos huertos, la disminución de las demandas hidricas ocurren en el período en que comienza

el crecimiento acelerado de los frutos descrito por TELLO (1990)(Figura 3), momento en que se produce la senescencia y caída de hojas viejas (GARDIAZABAL, 1992* y BOZZOLO, 1993). Estos acontecimientos ocurren luego de un período de gran actividad en el que se produce la traslocación de las reservas de nutrientes hacía los frutos y brotes en crecimiento. Al mismo tiempo con la caída de frutos se produce el ajuste en los níveles de producción de la temporada (WHILEY, 1990a y WHILEY, 1990b).

BOZZOLO (1993) señala que al relacionar las láminas riego aplicadas cada año con sus respectivas producciones, se obtiene una asociación lineal en ninguno cuarteles analizados. Por otro lado, la incidencia de producciones bianuales fue muy marcada en cada uno ellos a excepción de uno en que durante las dos últimas este fenómeno no se presentó. Esto pudo ser temporadas consecuencia de la recolección temprana de los frutos antes del período de crecimiento acelerado. Al respecto, RASHUNSSEN y SARANAH (1991) al WHILEY. iqual que SCHOLEFIELD. SEDGLEY y ALEXANDER (1985) coinciden en que cosechar en forma tardía aumenta la incidencia del "añerismo".

^(*) GARDIAZABAL, F. 1992. Ing. Agrónomo. Profesor Cátedra de Frutales de Hoja Persistente, Facultad de Agronomía, Universidad Católica de Valparaiso, Quillota, Chile. Comunicación Personal.

WHILEY (1990b) al iqual que LOVATT (1990) coinciden en que la senescencia acelerada de las hojas se debería a mecanismo compensatorio desencadenado temprano en 1a primavera, durante el período de floración y cuaja, que reduce la competencia por aqua y nutrientes con los frutos. Indirectamente, la defoliación natural permitiria una mayor insolación del suelo, aumentando la temperatura a nivel de las raices superficiales de forma de aumentar su actividad de crecimiento y capacidad de absorción de Sin embargo, la ausencia de hojas maduras disminuir el peso promedio de los frutos, reduciendo sustancialmente las cosechas (WHILEY, 1990b).

En cuanto al riego, la lámina aportada para el huerto de la Estación Experimental regado por microaspersión fue de 599,58 mm. BOZZOLO (1993) señala que láminas de 530 a 557 mm asegurarian niveles óptimos de producción, siempre y cuando se coseche temprano en la temporada para evitar el desprendimiento de fruta provocado por la competencia.

LAHAV y KALMAR (1983) y KURTZ, GUIL y KLEIN (1991) en Israel y GUSTAFSON, MARSH y DAVIES (1979) en California, encontraron que altas produciones se asocian a riegos abundantes (538 a 828 mm por temporada) dependiendo del tipo de suelo y de los níveles de pluviometria y evaporación de bandeja para cada zona en particular.

En el caso del goteo, la lámina aportada fue de 842,3 mm. Es importante señalar esta diferencia en cuanto a lámina aportada a cada huerto, ya que ambos son de características similares en cuanto a suelo, altitud y que están menos de 2 km de distancia. Además, el estudio consideró a árboles de características equivalentes cuanto a vigor, estado sanitario y productividad. AL respecto, ADATO y LEVINSON (1991) señalan que comparar el desarollo de los árboles sometidos a láminas con riego por goteo de 894 y 1229 mm y a aplicada con microaspersión de 1239 mm, los mejores resultados se lograron para el primer tratamiento con 894 mm al cabo de un período de cuatro años. En este tratamiento, se observó un 25% más de crecimiento diámetro del tronco, un 47% más de frutos cosechados, 28% más de raices entre los 0 - 60 cm de profundidad de suelo y un 30% menos en gasto de fertilizantes comparado con el sistema de microaspersión, lo que explica las diferencias en el estado de desarrollo de los árboles entre los regados por goteo y aquellos por microaspersión. Por otra parte, LOVATT (1991) obtuvo entre cuatro tratamientos de riego por goteo efectuados en Málaga (España) que la mayor producción se lograba con una lámina de 797,5 mm.

A modo de explicar estas diferencias en las láminas

aplicadas, se ve que al comparar la granulometría (Anexo 6 y Anexo 7) se aprecia que el suelo de la Estación Experimental (Anexo 4) presenta en la primera estrata un mayor contenido de arcilla como también una mayor densidad aparente, lo que se traduce en una mayor retentiva de aqua en comparación con el suelo del fundo "La Palma". Además, este suelo a los 45 cm comienza a presentar una abundante cantidad de piedras de gran tamaño (Anexo 5) entre las cuales encontramos una matriz de suelo franco arenoso. De lesta forma, dado el gran tamaño de los canuliculos formados, el aqua presenta una infiltración a napas profundas lo que hace que capacidad retentiva sea menor y por lo tanto se determine el realizar riegos más frecuentes. El efecto de la textura en la retención de humedad puede observarse en las respectivas curvas características de humedad en iguales tensiones el huerto de la Estación Experimental es el que almacena una mayor cantidad de agua (Figura 11 y Figura 12). La mayor capacidad de retención de humedad disminuye la frecuencia de los riegos y por ende, la evapotranspiración diaria según lo expresado por LAHAV y KALMAR (1976) en Israel.

4.3. Análisis del tipo de suelo:

En cuanto al suelo de la Estación Experimental, se deben

hacer varias consideraciones en cuanto a la capacidad retentiva del agua, expresadas en una curva característica de humedad (Figura 11 y Figura 12) y el análisis físico (densidad aparente y granulometria) (Anexo 6 y Anexo 7) que intimamente se relaciona con el arraigamiento y el sistema de riego utilizado.

Para el suelo de la Estación Experimental (Anexo 4). primera estrata, que va desde los 0 - 30 cm, presenta una densidad aparente de 2,08 g/cc, valor superior al promedio asignado a los suelos pertenecientes a la serie "La Palma" (Anexo 1) que es de 1,78 g/cc. Esto se explicaria por mayor contenido de arcilla y limo y por el menor contenido de arena que la estrata ubicada entre los 30 y 60 cm. Esta situación explicaría esta mayor Densidad Aparente, la que justifica la mayor capacidad retentiva de humedad la que se traduce la su vez en una condición de sobresaturación que no permite la suficiente aireación mecesaria para el desarrollo de raices absorbentes. mituación queda de manifiesto al momento de realizar manja desde el tronco hacia la entrehilera (Figura 9) Monde hay ausencia absoluta de raices bajo la canopia del ⊯rbol a partir de 50 cm del tronco hasta 3,5 m desde Micho punto donde nuevamente comienzan a observarse raices absorbentes en forma intermitente. Si observamos la curva Maracteristica de humedad (Figura 11), podemos justificar

la lenta disminución del porcentaje de humedad en la presencia de un mayor contenido de arcilla y materia orgánica. Es importante clarificar que la curva es representativa para un tipo de suelo y que no refleja la situación particular observada en el punto alejado de la canopia del árbol, donde la presencia del "mulch" de hojas aumenta el contenido de materia orgánica.

Con respecto a la estrata que va desde los 30 - 60 cm de profundidad, se observa una disminución en los contenidos de materia orgánica. Además, el contenido de arena es un 10% superior y el de arcilla un 4 % inferior a lo encontrado en la primera estrata, lo que explica la menor densidad aparente. Esto se traduce en una capacidad de poder movilizar más fácilmente el agua y por tanto, un intercambio gaseoso más efectivo, situación que queda de manifiesto al observar la curva característica de humedad (Figura 12). Esa mayor capacidad de aireación explicaría la aparición de algunas raíces a una distancia de 2,07 m desde el tronco y a partir de los 3,84 m de preferencia en la estrata situada entre los 40 a 60 cm (LEVINSON y ADATO, 1991).

En relación al suelo del fundo "La Palma" podemos diferenciar dos estratas muy marcadas (Anexo 5), la primera que va desde los 0 a 25 cm y que constituye la capa arable y otra desde los 25 a 45 cm donde se aprecia

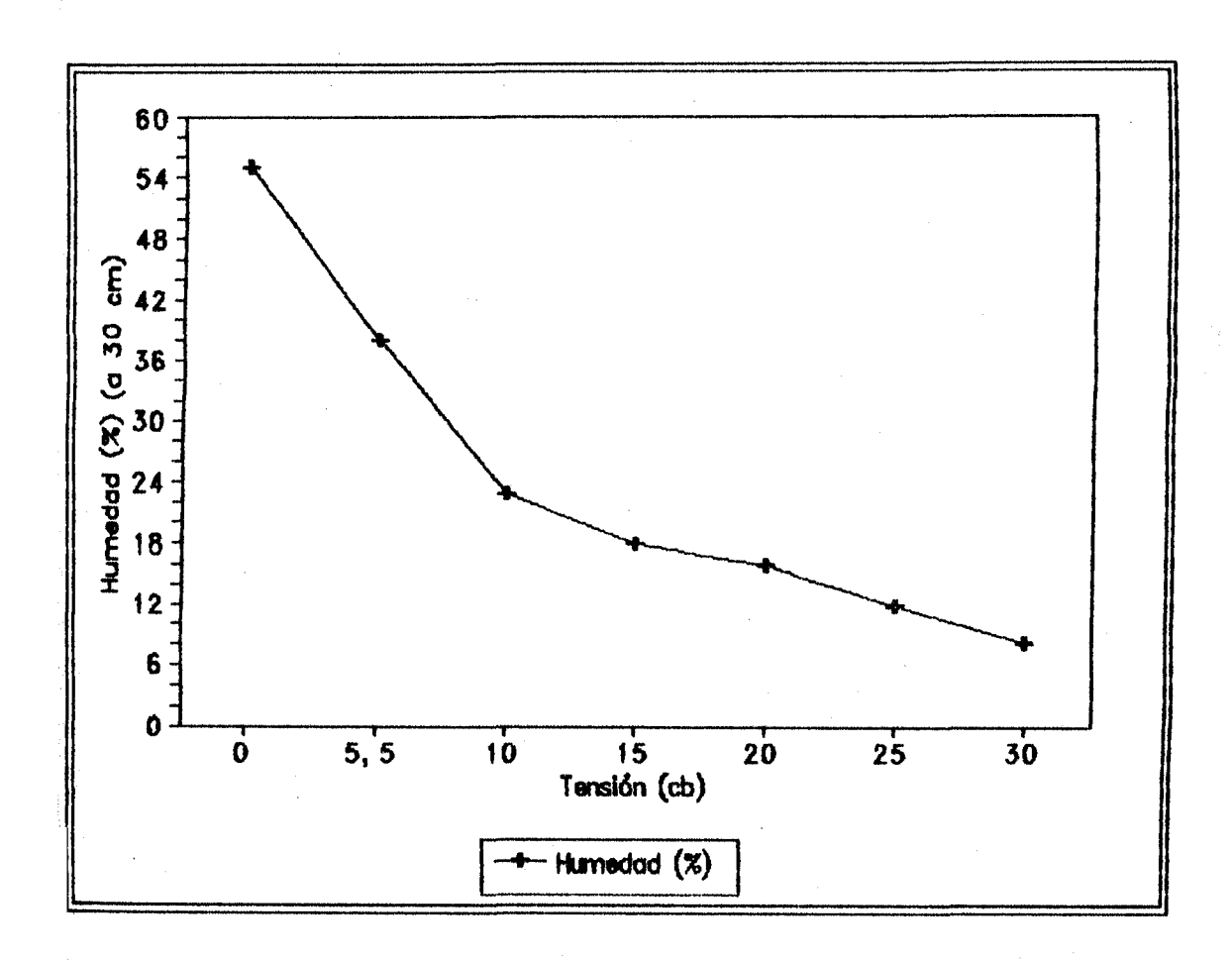


FIGURA 11. Curva característica de humedad para la estrata de 0 - 30 cm perteneciente al huerto de la Estación Experimental de la Universidad Católica de Valparaiso.

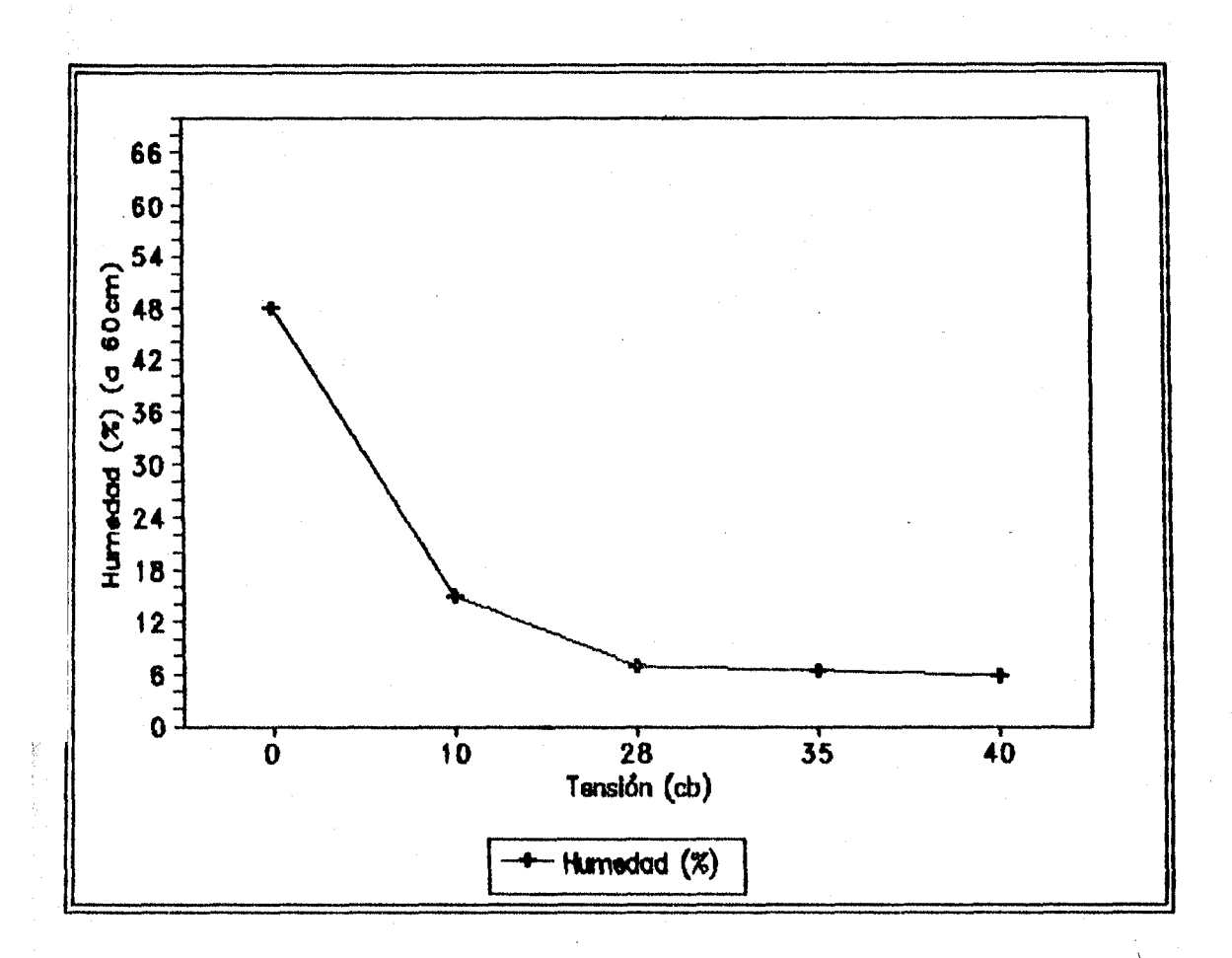


FIGURA 12. Curva característica de humedad para la estrata de 0 - 60 cm perteneciente al huerto de Estación Experimental de la Universidad Católica de Valparaiso.

una abundante cantidad de piedras con diámetro superior a los 15 cm y entre ellas una matriz de suelo de textura franco arenosa. El análisis de granulometría (Anexo 7), muestra que el contenido de arena es de 48,5%, el de arcilla de 25,5% y la Densidad Aparente es de 1,69 g/cc. Estos valores explican el comportamiento del agua en el perfil de suelo, situación que se ve reflejada en la curva característica de humedad (Figura 13). De esta forma, este suelo permanece en un constante intercambio gaseoso que lo aleja de la condición de sobresaturación permitiéndo el desarrollo de raíces absorbentes en una amplia superficie del perfil (LEVINSON y ADATO, 1991).

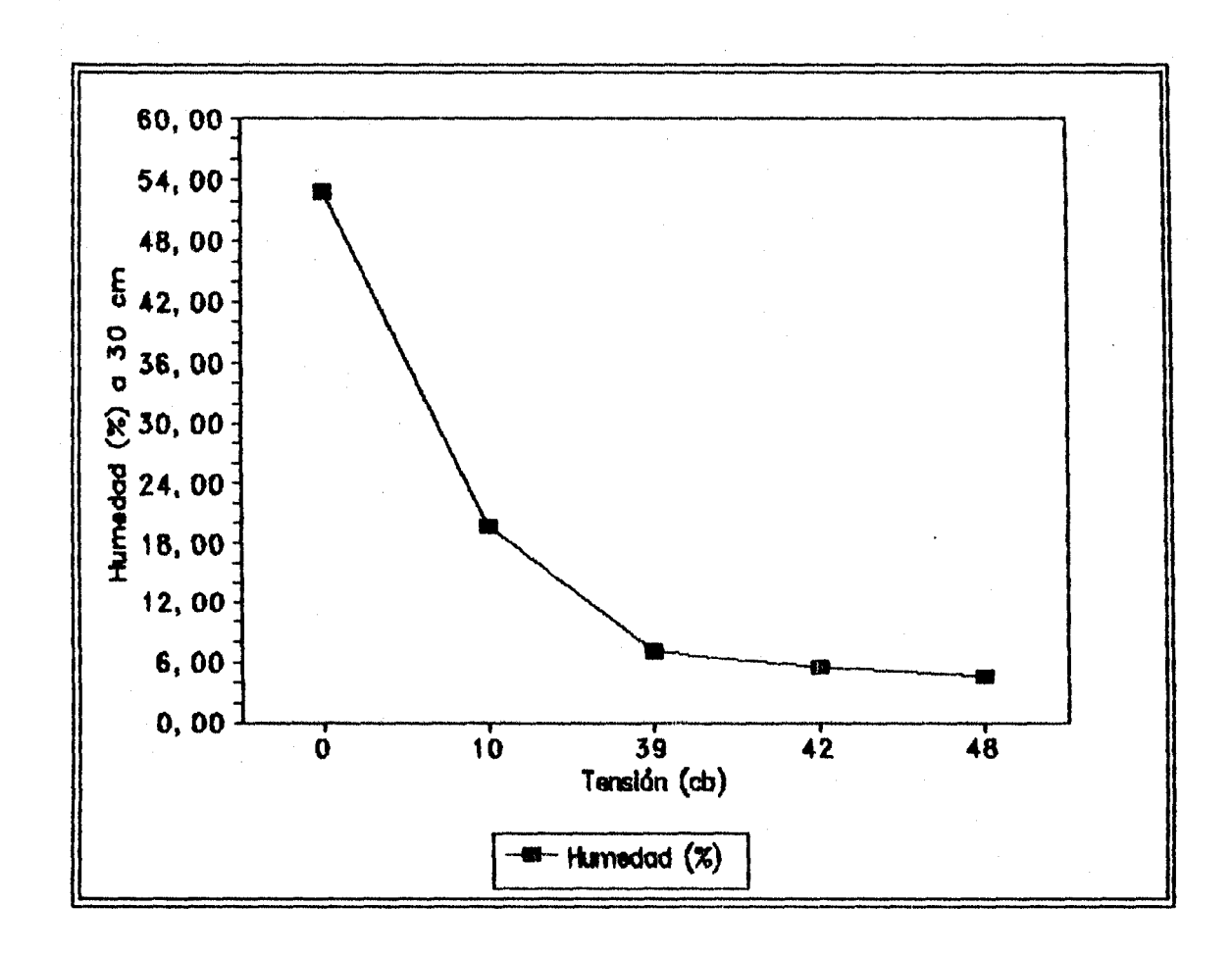


FIGURA 13. Curva característica de humedad para la estrata de 0 - 30 cm para el huerto "La Palma".

4.4. Análisis de los patrones de distribución uso - consumo del aqua:

Para el huerto regado por el sistema de microaspersión, los valores entregados por el tensiómetro de instantánea (Cuadro 2 У Cuadro 3). permitieron confeccionar una curva del patrón de uso-consumo del aqua en el suelo (Figura 14, Figura 15, l'igura 16 y Figura la que se desprende que existe una variación bastante característica de los contenidos de aqua en suelo entre lo que sucede desde el microaspersor hacía canopia del árbol y lo que sucede hacia la entre hilera.

Esto permite inferir que las raices deberian encontrarse hacia afuera de la canopia del árbol, en la zona de la entre hilera dado que en esta zona se producen las mayores fluctuaciones de la tensión, las que fueron medidas un día después y un día antes del riego. Si bien esta zona presenta importantes fluctuaciones por efecto directo de la demanda atmosférica, el otro elemento participante sería la presencia de raices absorbentes.

Por otro lado, la zona bajo la canopia del árbol y el "mulch" de hojas, presenta a lo largo del intervalo de riego una condición de alta saturación lo que indicaria la ausencia de raices dado la alta ineficiencia de intercambio gaseoso de esta estrata de suelo. Al respecto,

CUADRO 2. Distribución de la tensión del agua en el suelo medida en el sector regado por microaspersión un día después del riego a dos profundidades (30 y 60 cm).

STANCIA (m)	TENSION 30 cm (ct) TENSION 60 cm (cb
0	6,5	5,0
0,5	6,0	5,0
1,0	4,0	2,0
1,5	4,0	2, 1
2,0	2, 5	1,8
2, 5	8,0	4,0
3,0	10,0	8,0
3, 5	18,0	12,0
4,0	20,0	14,0
4,5	24,0	16,0
5,0	21,0	13,0
5, 5	16, Ø	11,0
6,0	8,0	5, 0
6, 5	4, 4	2,5
7,0	2,0	1,5
7,5	3, 5	1,8
8,0	8,0	4,0
8,5	8,0	4,5
9,0	8,0	5, 0
9, 5	G , Ø	3,0
10,0	4, 0	2,5
10,5	3,5	1,5
11,0	2,0	1,0
11,5	6,0	4, 5
12,0	8,0	4, 5
12,5	10,0	5, 5
13,0	16,0	10,0
13,5	14,0	12,0
14,0	8,0	6, 0
14,5	4,0	2,0
15,0	2,0	1,5
15, 5	1,5	0,5
16,0	2,0	0,5
16, 5	2,5	1,0
17,0	4,0	3,0
17,5	6,0	4, 0

CUADRO 3. Distribución de la tensión del agua en el suelo medida en el sector regado por microaspersión un día antes del riego a dos profundidades (30 y 60 cm).

DISTANCIA (m)	TENSION 30 cm (cb)	TENSION 60 cm (cb)
Ø	9,0	7,0
0,5	7,0	4,0
1,0	8,0	5, 0
1,5	G, Ø	4,0
2,0	5,0	3,0
2, 5	19,0	12,0
3,0	28,0	20,0
3, 5	30,0	28,0
4, 0	32,0	28,0
4, 5	35, Ø	30,0
5,0	32,0	28,0
5, 5	23,0	20,0
6, 0	18,0	15, 0
G , 5	12,0	10,0
7,0	10,0	7 , 0
7,5	9,0	6,0
8,0	7,0	4, Ø
8,5	8,0	4, 0
9, Ø	10,0	5,0
9, 5	8,0	3,5
10,0	7,0	3,0
10,5	6, 5	2,0
11,0	5,0	3,0
11,5	4,0	2 , 0
12,0	5, 5	3,0
12,5	7,5	4, ₺
13,0	10,0	6,0
13, 5	16,0	10,0
14,0	20,0	15, 0
14,5	22,0	18, 0
15, 0	18,0	14,0
15, 5	18,0	12,0
16,0	15,0	9,0
16,5	12,0	9,0
17,0	11,0	7,0
17,5	8,0	5, Ø
18,0	6,0	2,0
18,5	8,0	4,0
19,0	10,0	6, 0

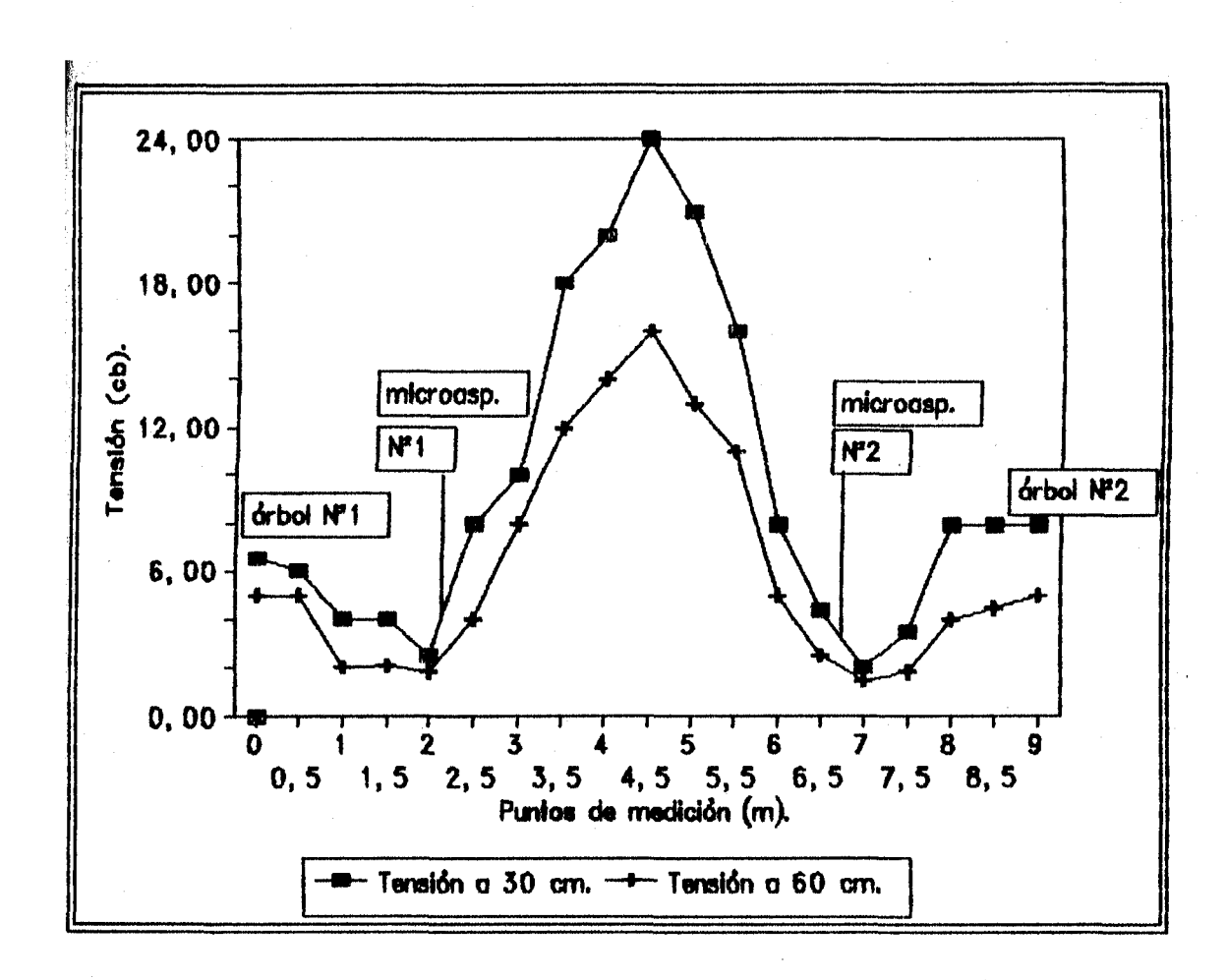


FIGURA 14. Diagrama que muestra la distribución de las tensiones medidas a 30 y 60 cm de profundidad un día después del riego para el huerto regado por microaspersión.

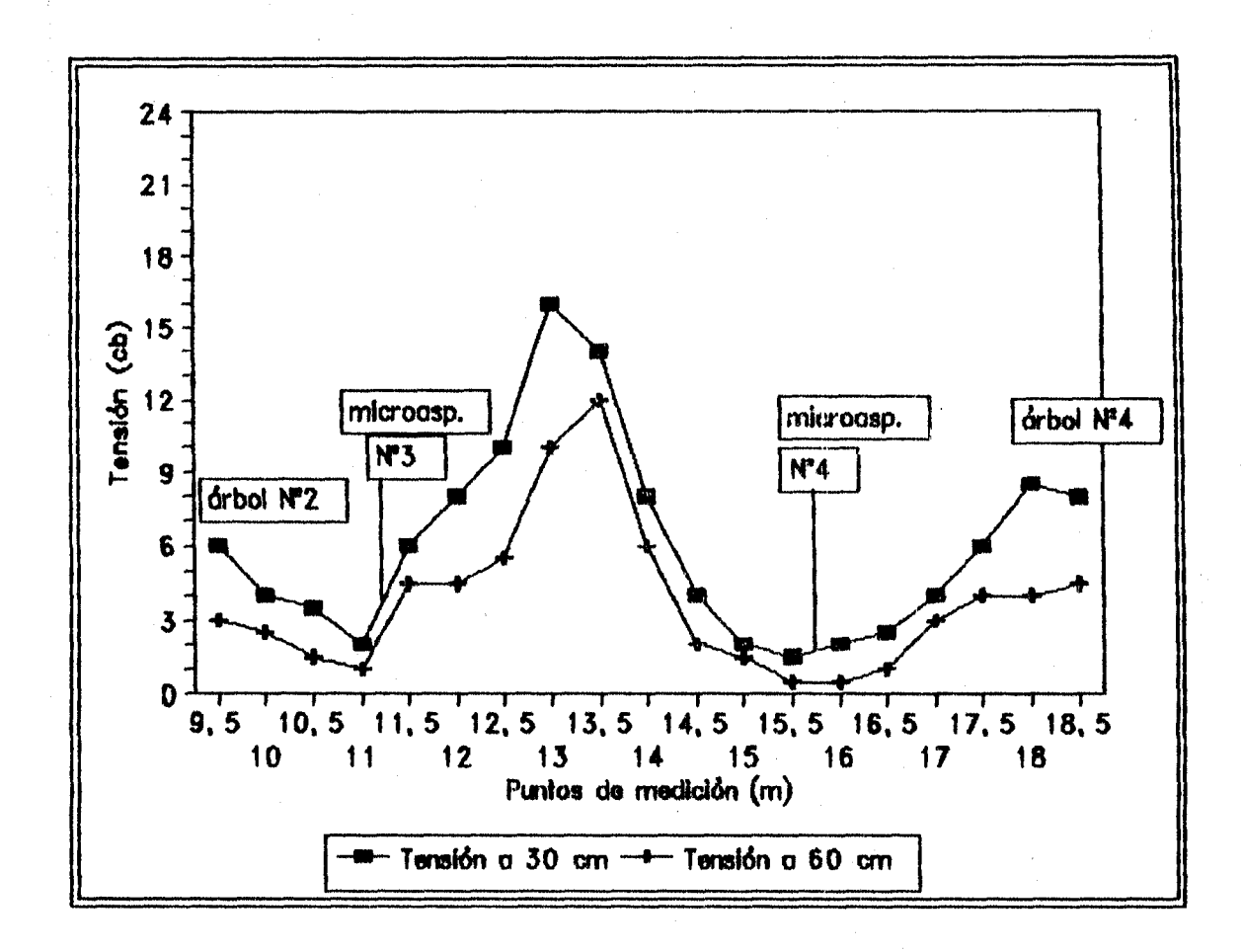


FIGURA 15. Diagrama que muestra la distribución de las tensiones medidas a 30 y 60 cm de profundidad un día después el riego para el huerto regado por microaspersión.

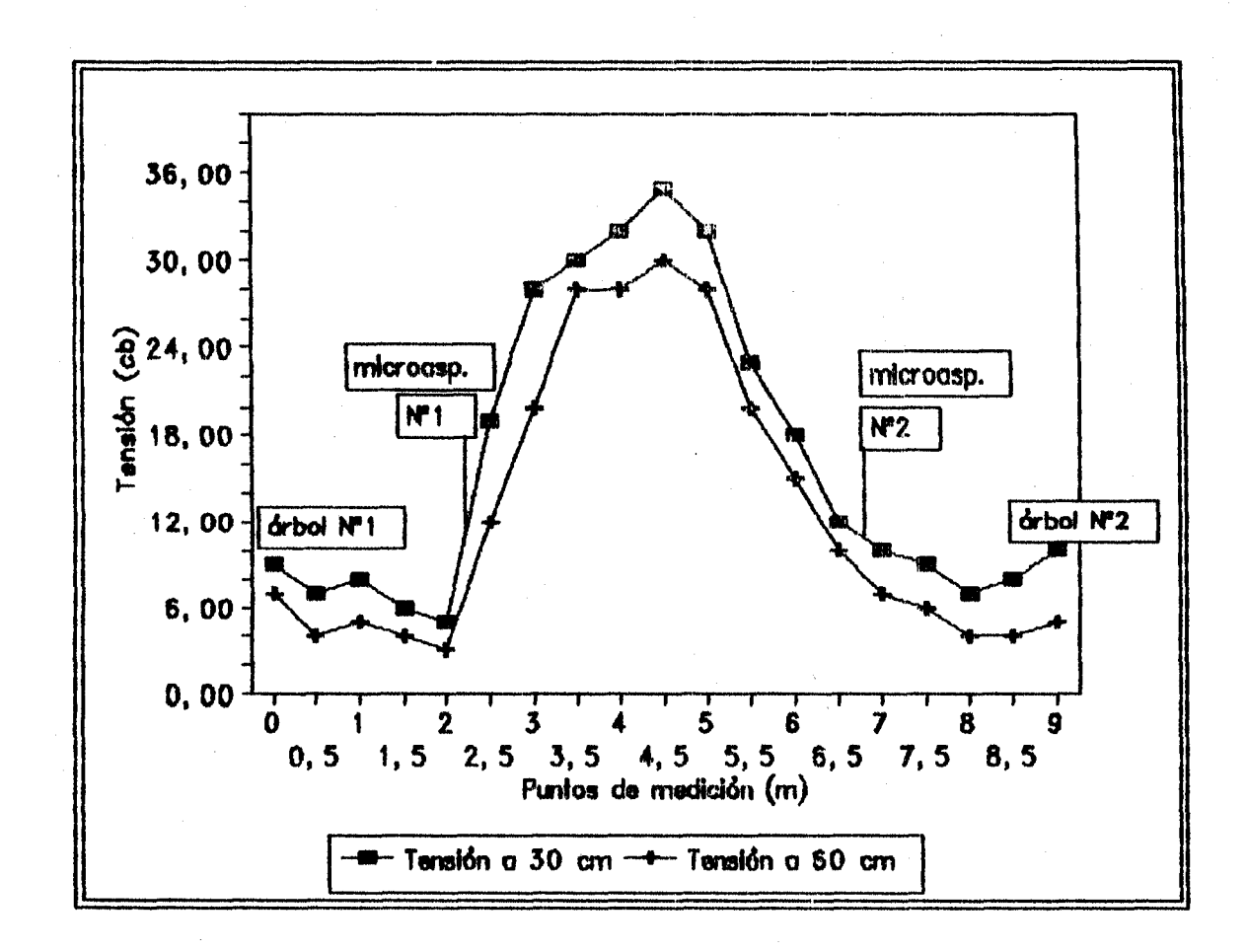


FIGURA 16. Diagrama que muestra la distribución de tensiones a 30 y 60 cm de profundidad medidas un dia antes del riego en el huerto regado por microaspersión.

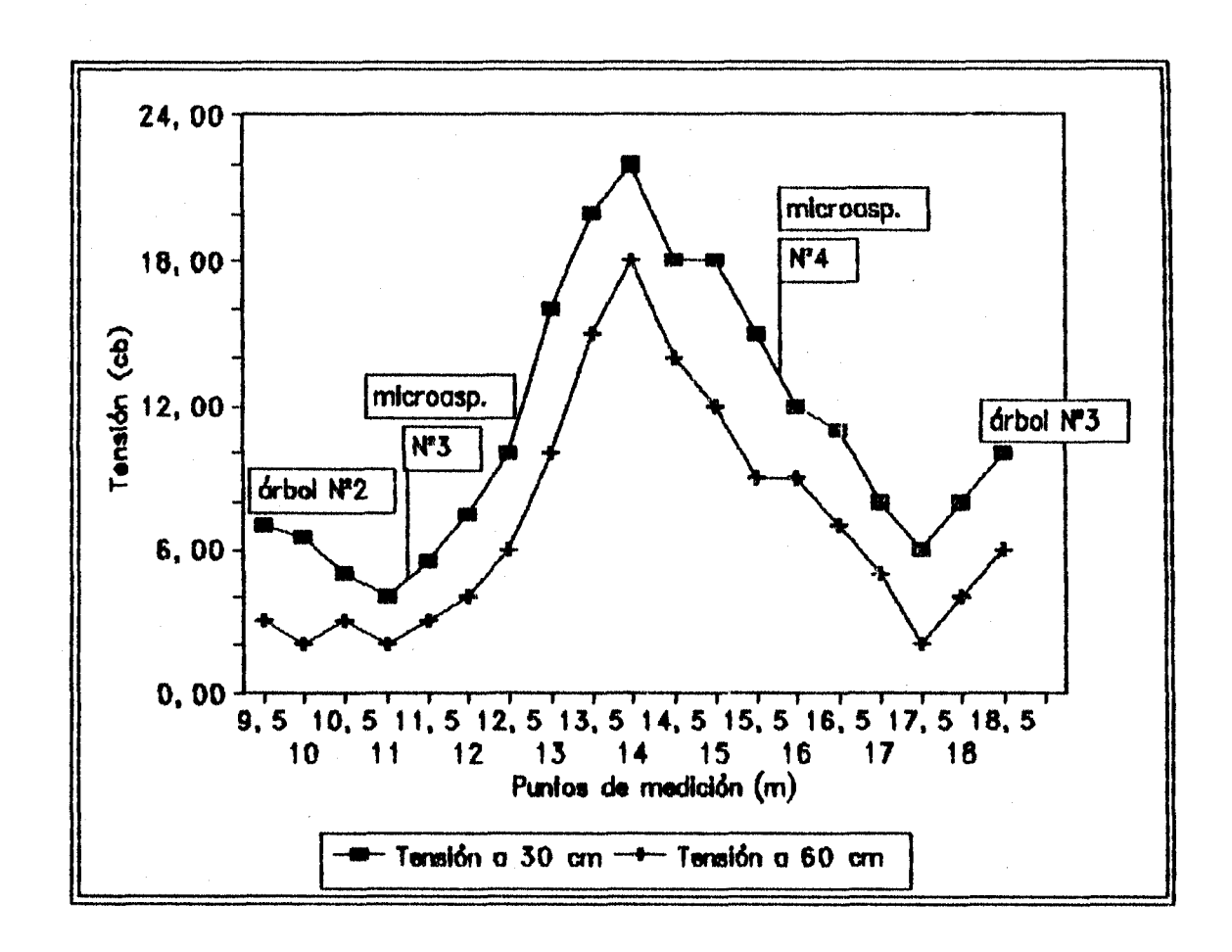


FIGURA 17. Diagrama que muestra la distribución de tensiones a 30 y 60 cm de profundidad medidas un día antes del riego en el huerto regado por microaspersión.

PAT et al. (1990) citado por BOZZOLO (1993) señalan que el desarrollo de raices es inhibido por una inadecuada aíreación del suelo. LAHAV y KALMAR (1977) señalan que después de cuatro años de estar aplicándoles distintos agua a paltos, no hubo volúmenes de efecto sobre densidad raices de las diferencias do pesar considerables en los contenidos de humedad. Esa respuesta se explicaría por la insuficiente aireación del suelo.

interesante observar que las fluctuaciones los contenidos de humedad. son mayores para los microaspersores ubicados en la exposición norte del (Figura 14 y Figura 15) comparado con los valores obtenídos en los microaspersores de exposición sur. este punto, POST y PECK (1986) afirman que paltos regados por microaspersión necesitan entre un 10 a un 15% aqua en la zona de exposíción sur dado las menores fluctuaciones en los contenidos de humedad 80 presentan. Estos mayores contenidos se explicarian por presencia de una mayor cubierta de hojas hacía zona de la entrehilera. Al respecto, MENGE y TURNEY (1993) citados por BOZZOLO (1993) indican la importancia de tener cubierta de hojas, por cuanto reduce la evaporación, el escurrimiento superficial y la erosión, e incrementa la permeabilidad y la capacidad retentiva del agua en el Además, guelo. favorecería notablemente mantener las temperaturas del suelo evitando fuertes fluctuaciones y favoreciendo el crecimiento de raices.

Con respecto a los valores registrados en el uso-consumo del agua en el riego por goteo (Cuadro 4 y Cuadro 5),

CUADRO 4. Distribución de las tensiones del agua en el suelo medidas en el huerto regado por goteo un día después del riego a dos profundidades (30 y 60 cm) en sentido paralelo a la linea de goteros.

DISTANCIA (m)	TENSION 30 cm (c	b) TENSION 60 cm (cb
Ø	6,0	4,0
0,5	10,0	5,0
1,0	8,0	3,0
1,5	6,0	2,5
2,0	7,0	3, 5
2, 5	9,0	5,0
3,0	15,0	12,0
3,5	17,0	13,0
4,0	22,0	15, Ø
4,5	30,0	22,0
5,0	27,0	20,0
5,5	23,0	17,0

CUADRO 5. Distribución de la tensión del agua en el suelo medida en el huerto regado por goteo un día después del riego a dos profundidades (30 y 60 cm) en sentido perpendicular a la linea de goteo.

OISTANCIA (m)	TENSION 30 cm (c)	b) TENSION 60 cm (cb)
Ø	8,0	6,0
0,5	6,0	3,5
1,0	4,0	2,5
1,5	9,0	4,0
2,0	13,0	6, 5
2, 5	16,0	8,5
31, 0	22,0	15,0
3, 5	24,0	18,0
4,0	20,0	16,0
4,5	17,0	13,0
5,0	13,0	9,0
5,5	11,5	7,5

se desprende de las curvas confeccionadas (Figura 18 y 19) los contenidos de Figura que agua mantienen constantes a lo largo de la linea de goteros, en la zona que se ubica bajo el "mulch" de hojas y la canopia del arbol. Luego, esos contenidos disminuyen bastante al llegar a la zona de la entrehilera. De esto se puede inferir que las raices se encontrarian a lo largo de toda la linea de goteo y bajo toda la superficie comprendida por la cubierta de hojas. Podría pensarse que por contenidos constantes de agua a lo largo de la linea, el consumo por parte de las raices seria hajo, lo que haria pensar en una baja densidad radical.

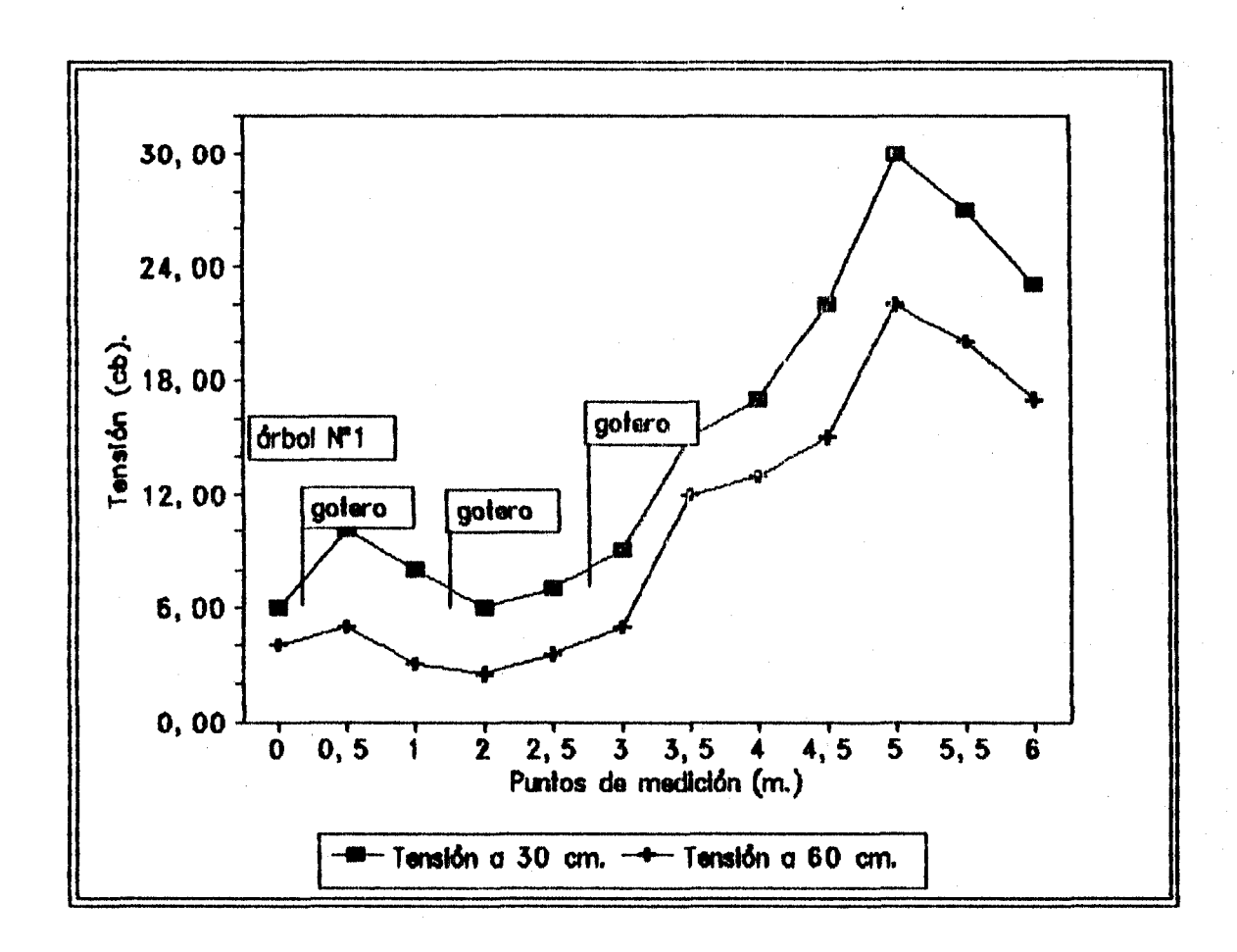


FIGURA 18. Diagrama que muestra la distribución de tensiones a 30 y 60 cm de profundidad medidas en sentido paralelo a la linea de goteo para el huerto regado por goteo.

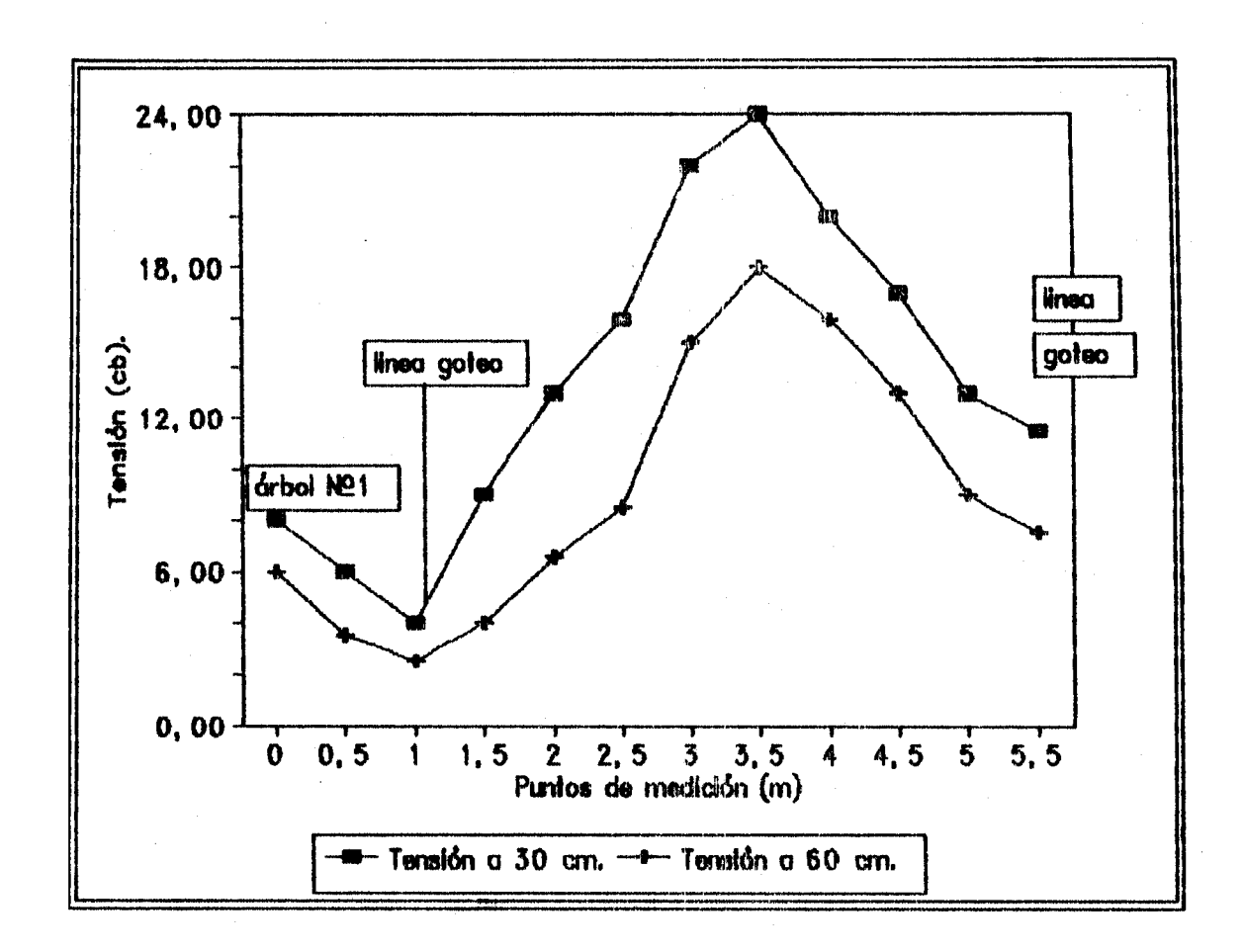


FIGURA 19. Diagrama que muestra la distribución de tensiones a 30 y 60 cm de profundidad medidas en sentido perpendicular a la linea de goteo para el huerto regado por goteo.

Si se analiza la distribución uso-consumo desde la linea en sentido perpendicular a la linea de goteo, los cambios en los contenídos de humedad son más severos, lo que haría suponer que la masa radical se concentraría en dicho RAWLINS (1975) citado por TELLO (1990), sector. que en riego por goteo, para satisfacer las demandas transpirativas en un limitado volumen de suelo, el emisor debe entregar altos contenidos de aqua en función la alta conductividad hidráulica y la baja humedad suelo. En todo caso SPURLING (1991) agrega que en riego por goteo, el área húmeda proporciona aqua a los árboles estimulando e1crecimiento vegetativo, además de economizar agua y reducir las pérdidas por evaporación la superficie no mojada. Este limitado volumen de suelo mojado restringiria el crecimiento de raices haciendo que su densidad sea alta.

4.5. Análisis de la descarga del microaspersor:

A pesar que los microaspersores se encontraban aforados, a fin de arrojar su máximo caudal de 36 l/hr, la descarga medida en cada punto no sigue una constante como debería esperarse (Cuadro 6). Lo que se debería esperar es que desde el emisor la precipitación debe ir decreciendo, situación que se observa claramente en el microaspersor Nº4 (Figura 20), siendo la mayor lámina captada en el punto más cercano al emisor y la menor lámina captada en el punto cercano al tronco. Sólo hay un punto que escapa a esta ditribución normal, que tendría su justificación en que en dicho lugar se produce el choque de la gota con brotes que se encuentran a baja altura. En algunos casos se produce el escurrimiento de la gota la que cae a la placa aumentando los contenidos de aqua.

Por otro lado, a medida que se aleja del árbol, las precipitaciones medidas en puntos equivalentes en la entre hilera y bajo la canopia del árbol, aumentan hacia el lado norte del microaspersor, tal vez por la influencia del viento suroeste proveniente de la costa que se hace sentir en forma muy notoria en la zona de Quillota.

En general, podemos afirmar que la precipitación medida en cada punto, no sigue una lógica, todo esto como respuesta a la interferencia de factores externos tales como la presencia de follaje a 30 cm y menos desde el suelo que interrumpe el movimiento de las gotas evitando que el agua llege a puntos más alejados. Esta situación se traduce en que puntos del perfil del suelo presentan condiciones de sobresaturación lo que implica ausencia de raíces absorbentes o bien el posible desarrollo de Phytophthora.

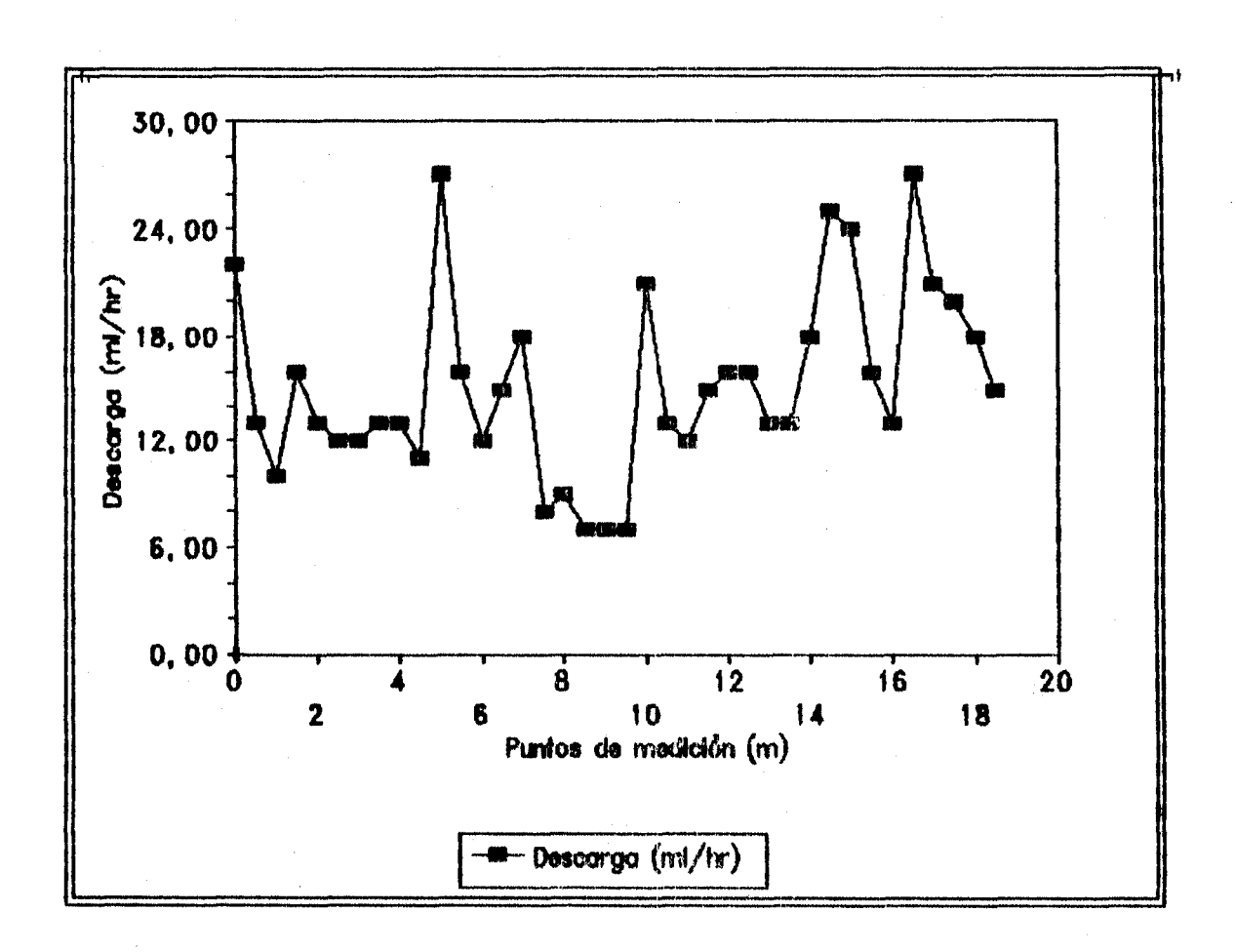


FIGURA 20. Diagrama que muestra la descarga de los microaspersores.

4.6. Análisis del desarrollo de raices bajo los dos sistemas de riego:

De regado acuerdo 10 visto en el huerto por microaspersión, el desarrollo de las raices está fuertemente determinado por el volumen de aqua aplicada y distribución de ésta en la superficie del suelo. consideramos los resultados de MEYER et al. (1990) en que determinan que hay una correlación positiva entre el largo de las raices y la cantidad de aqua aplicada (120% ETo), de la proximidad del microaspersor que significativamente en la distribución de las raices. se puede pensar que el usar microaspersores de 36 l/hr con 6.2 m de diámetro de mojamiento. no favorece el las raices. Estos autores señalan que crecimiento de cuatro veces más raices en los primeros 20 cm de habría suelo y que su número aumentaría con mayores volúmenes de agua aplicada para cualquier régimen de riego, situación que es totalmente opuesta a lo observado en el huerto que a 20, 40 cm y más de profundidad hay ausencia total de raices bajo la canopía del árbol y el "mulch" de hojas.

Por otro lado, MEYER <u>et al</u>. (1992) señalan que el mayor volúmen de raíces se ubicaría a medida que nos aproximamos al microaspersor. Ellos observan que a 75 cm de distancia del microaspersor se ubicaría el mayor

número de raíces, situación bastante diferente a lo observado en el huerto donde las raíces se encuentran alejadas del microaspersor.

Analizando la situación específica del huerto (Cuadro 7) y tomando en cuenta la situación de los patrones distribución uso-consumo del aqua, se esperaria no encontrar raices en la zona hajo la canopia y el "mulch" de hojas, dado las altas condiciones de saturación presenta este suelo. Una vez confeccionada la zanja a cm desde el tronco con una longitud de 4,2 m, podemos complementar los supuestos establecidos al analizar curvas de distribución de las tensiones. Es así que en estrata que va de 0 a 20 cm se observan raices d€ diámetro inferior a 2 mm hasta una distancia desde tronco de 1,03 m y a 1,85 m del microaspersor con una densidad de 0,16 raicillas por cmº. Luego, a mayores distancias, hay ausencia total de raices hasta Una distancia de 3,39 m del tronco (Figura 21).

A 50 cm del tronco se observa una alta concentración de raicillas de diámetro inferior a 2 mm en los 10 primeros centimetros de suelo, alcanzando una densidad de 0,86 raicillas por cm² las que van disminuyendo a medida que nos acercamos al microaspersor (Figura 22). Esta situación se explicaria por el menor mojamiento que sufre dicha



FIGURA 21. Fotografía que muestra la distribución de raíces en el huerto regado por microaspersión.



FIGURA 22. Fotografía que muestra el desarrollo de raices absorbentes a una distancia de 50 cm del tronco.

zona, ya que es el punto más alejado del microaspersor, lo que se traduce en una menor precipitación en dicho lugar (Figura 20). Esto estaria favoreciendo el intercambio gaseoso con la atmósfera situación que permitiria el desarrollo de raices.

CUADRO 6. Densidad de raices medidas en el huerto regado por microaspersión en tres estratas.

DISTANCIA	0-20 cm	20-40 cm	40-60 cm
m desde el tronco)	(NG/cm ²)	(No/cms)	(NO/cm ²)
0,5	0.86	1.018	ø
Ø. 77	0.61	Ø) .	Ø
1.03	0.16	` Ø	Ø -
1.3	0.16	Ø	0
1.57	0.13	Ø	0
1.84	0.1	Ø	Ø
2.07	0	0. 35	Ø
2.34	0	0.4	Ø
2.61	Ø	0.61	Ø
2.88	0	0.62	. 0
3.12	@	Ø.58	Ø
a. 39	Ø	0.7 3	0
31.66	0.88	0.78	0.85
3.93	Ø. 88	Ø. 8	0.9
4.2	Ø. 85	0.75	0.92

Al respecto, ADATO y LEVINSON (1991) señalan que el crecimiento de raices es inhibido, probablemente, por la alta cantidad de agua después de varias horas de riego con el sistema de microaspersión y que éstas comenzarian a desarrollarse cuando encuentren la posibilidad de realizar un intercambio gaseoso efectivo.

Otro aspecto a considerar es que en esta zona ausente de

raices, la presencia del "mulch" de hojas interfiere en el normal flujo del vapor de agua hacia la atmósfera a través del proceso de evaporación. Es así que un día antes del riego, dicha zona presenta una tensión que se mantiene bajo los 8 cb, después de 3,5 días desde el riego anterior. Esto provoca que esta zona mantenga una excesiva humedad que alcanza a la saturación al momento del siguiente riego.

A medida que nos alejamos del "mulch" de hojas y de la canopia del árbol, los contenidos de humedad disminuyen por efecto de la ausencia de una cobertura que permite la acción directa de los rayos solares. De esta forma, nuevamente comienzan a observarse raices a partir de 3,39 m desde el tronco observándose hasta los 4,2 m y más, llegando a alcanzar una densidad de 0,88 raicillas por cm² en la estrata que va de 0 a 20 cm. Este nuevo desarrollo seria una respuesta a la mayor aireación y a la ausencia de saturación del suelo.

Con respecto a lo que sucede con las otras estratas, entre los 20 y 40 cm se observa la mayor densidad de raicillas alcanzando una densidad de 1,018 raicillas por cm² a 50 cm desde el tronco. Luego, los valores decrecen hasta desaparecer para nuevamente comenzar a desarrollarse a 2,07 m desde el tronco.

En la estrata que va de los 40 a 60 cm el desarrollo de raices es abundante a partir de una distancia de 3,66 m desde el tronco. Esto estaria explicado por el mayor porcentaje de humedad en dicha estrata, por el adecuado intercambio gaseoso y por el cambio textural que se presenta a esta profundidad.

Por lo tanto, podríamos afirmar que para este manejo de riego las raíces absorbentes se encuentran principalmente en la zona de la entrehilera a una distancia de 3,66 m desde el tronco y con una mayor densidad en la estrata que va desde los 30 a 60 cm. Al respecto, ABERCROMBIE (1990) al igual que SALAZAR y CORTES (1986) señalan que la mayoría de las raíces finas estarían localizadas entre lo 0 y 60 cm de profundidad. Por otra parte, estos resultados no concordarían con lo expresado por MUNOZ (1988) en que las raíces para el sistema de microaspersión crecerían más superficialmente de acuerdo con la distribución de la pluviometría sobre el suelo.

En relación al desarrollo de raices en el huerto regado por goteo, hay que señalar que estas presentan una amplia distribución en toda la superficie de suelo cubierta por la canopia del árbol y bajo el "mulch" de hojas (Figura 23). Si bien la capa arable en promedio no supera los 30 cm, más abajo, entre la abundante cantidad de piedras, igual hay desarrollo de raices absorbentes en la matriz



FIGURA 23. Fotografía que muestra el desarrollo de raices absorbentes bajo la cubierta de hojas en el huerto regado por goteo.

franco-arenosa que se forma.

Analizando en forma específica cada una de las zanjas observamos que en la confeccionada en el sentido paralelo a la linea de goteo (Cuadro 8), las raicillas

CUADRO 7. Densidad de raices medida en el huerto regado por goteo en sentido paralelo a la linea de goteros.

DISTANCIA	0-20 cm	20-45 cm
m desde el tronco)	(Nº/cm²)	(NO/cm²)
0.5	0. 96	ø. 85
0. 77	0. 96	Ø. 81
1.03	0.74	0.85
1.3	0.7	0.91
1.57	0.7	0.91
1.84	0.65	0.80
2.07	0.69	0.79
2.34	0.71	0.65
2.61	0.71	0.73
2. 88	0.56	0.73
3.12	Ø. 86	0.71

de diametro inferior a 2 mm son abundantes a partir de los 45 cm desde el tronco ocupando los 15 cm superiores de la estrata que va de 0 a 20 cm alcanzando una densidad de 0,96 raicillas por cm². En la misma estrata pero alejándonos del tronco cada 25 cm, se siguen observando abundantes raices las que alcanzan una densidad de 0,9 raicillas por cm². A partir de 1,03 m desde el tronco, las raices comienzan a aparecer a los 10 cm de profundidad y en los últimos 5 cm de esa estrata con densidades que alcanzan las 0,7 raicillas por cm². A partir de los 2,88 m

desde el tronco, las raíces absorbentes se encuentran de preferencia entre los 8 y 14 cm alcanzando una densidad de 0.56 raícillas por cm².

En la estrata ubicada entre los 20 y 45 cm las raices se encuentran distribuidas en todo el perfil hasta una distancia de 3,12 m desde el tronco alcanzando una densidad de 0,85 raicillas por cm². A partir de los 3,12 m, la mayor concentración de raices se observa en los últimos 15 cm de la estrata alcanzando una densidad de 0,73 raicillas por cm² (Figura 24).

En cuanto a la distribución de las raices en sentido perpendicular a la linea de goteo (Cuadro 9). en la primera estrata, éstas se encuentran concentradas en los primeros 10 cm de suelo a 50 cm desde el tronco con una densidad de 0,67 raicillas por cm2. A los 77 cm desde el tronco encontramos el gotero, lugar en que las raicillas sólo ocupan los primeros 5 cm de alcanzando una densidad de 0,35 raicillas por cm². situación vuelve a repetirse a 1,04 m desde el tronco cambiar a 1,31 m donde las raicillas alcanzan una densidad de 1,08 raicillas por cmº. Esta situación se mantiene constante hasta llegar a los 3,5 m desde el tronco.



FIGURA 24. Fotografía que muestra la distribución de raices en la estrata que va de 20 a 45 cm.

CUADRO 8. Densidad de raíces medida en el huerto regado por goteo en sentido perpendicular a la linea de goteo.

DISTANCIA	0-20 cm	20-40 cm
m desde el tronco)	(NG/cm²)	(Ng/cm²)
0. 5	0.67	Ø
0. 77	0. 35	0
1.03	0.35	0
1.3	1.08	Ø
1.84	1.075	1.082
2.07	1.1	1.05
2.34	1.05	1.01
2.61	1.08	0.99
2.88	1.05	1.01
3.12	1.07	1.08

En cuanto al desarrollo de raicillas en la estrata 20 a 45 cm, éstas si bien están presentes no son abundantes. A los 77 cm desde el tronco, lugar donde comienza a estar presente el bulbo húmedo formado por el gotero las raicillas están prácticamente ausentes, situación que se vuelve a repetir a 1,31 m desde el tronco (Figura 25). A partir de ese punto comienzan a observarse un alto número de raicillas que crecen entre la abundante matriz pedregosa hasta una distancia de 3,5 m desde el tronco alcanzando una densidad de 1,08 raicillas por cm² (Figura 25).



FIGURA 25. Fotografía que muestra la distribución de raices en sentido perpendicular a la linea de goteo.

Por lo expresado anteriormente podríamos señalar que la abundante cantidad de raices absorbentes que se encuentran entre los 10 y 15 cm de suelo serían las responsasbles de las rápidas fluctuaciones en los contenidos de humedad en la primera estrata de suelo. Al respecto VELLIDIS, SMAJSTALA y ZAZUETA (1790) señalan que en riego por goteo las raices del cultivo son las responsables del rápido cambio de los potenciales de agua en el suelo.

Por otro lado, la baja densidad de raices en la zona bulbo de mojamiento hace pensar que éstas no 82 desarrollarían en esa zona a causa de la condición saturación que presenta el suelo. Además, la ausencía raicillas en la estrata que va desde los 20 a 45 cm explicaria por el tipo de bulbo que conforma el aqua bajo esas condiciones de textura el cual es alargado, lo que se traduce en que dicha zona esté constantemente con altos contenidos de agua. Al respecto, ADATO y LEVINSON (1991) señalan que al estudiar el desarrollo de raices en palto, éstas están densamente distribuidas entre los 20 y 50 desde el emisor y en muy baja densidad a 10 cm del emisor. En todo caso, esto discrepa de lo observado por MUNOZ que señala que las raices estarian concentradas (1988)dentro del bulbo de mojado. En este punto, LEVINSON (1991) señalan que es realmente significativa ausencia de raíces a 10 cm del gotero. GUSTAFSON, MARSH y DAVIES (1979) obtuvieron resultados en que sólo en

suelo muy arenoso habrian posibilidades de encontrar raices cerca del gotero.

Por lo tanto, todas estas referencias hacen pensar que el desarrollo de raices absorbentes en el sistema de riego por goteo está remitido a las ronas periféricas del bulbo de mojado, donde las condiciones de humedad de suelo permiten un adecuado intercambio gaseoso. Estas serían las condiciones esenciales necesarias para el desarrollo de raices absorbentes según lo expresado por ADATO y LEVINSON (1991).

ADATO y LEVINSON (1991), al comparar ambos sistemas de riego, observan que el efecto de la eficiencia se hace notar en forma específica sobre el desarrollo de raices absorbentes menores a 2 mm de diámetro: en la estrata que va de 0 a 60 cm, las raices son un 28% más densas en goteo que lo observado en microaspersión, pero con respecto a las raices absorbentes éstas alcanzan a ser un 52% más densas.

HIELORAI (1977) señala que al comparar los dos sistemas de riego sobre el desarrollo de raices, en goteo se logra la mayor eficiencia de uso del agua permite el desarrollo de raices en forma uniforme a través de todo el perfil. Además, la alta frecuencia de aplicación de agua en riego por goteo mejora la habilidad de las raices para

obtenerla. En cambio, en la microaspersión las raíces se encuentran en las estratas superiores.

Volviendo al tema relacionado con las tensiones de humedad del suelo, OLALLA et al (1992) afirman que los valores de las tensiones son un promedio de la relación suelo-planta. los valores obtenidos al lado del gotero, generalmente bajos ya que representan al bulbo mojado y lógicamente que en la periferia las tensiones registradas presentan grandes variaciones. Inspecciones realizadas revelaron que el sistema radicular estaba pobremente desarrollado en esta zona periférica, teniendo en cuenta que el suelo correspondía a un suelo pétreo con material interperizado de pizarra. Al comparar las tensiones registradas entre el sistema de riego por goteo y microaspersión, se observa que las condiciones do mayor estrés hidrico se producen en los tratamientos de riego por microaspersión, siendo las pérdidas de humedad un 16 a 24% superiores a las obtenidas en goteo, lo que se explicaria por la amplia área mojada que se logra, provoca considerables pérdidas por evaporación. Si bien no hay grandes diferencias en el número de raices, compararlo con el tratamiento por goteo, las continuas situaciones de estrés hidrico se traducirian en una menor producción y crecimiento de los árboles.

5. CONCLUSIONES

El estudio se realizó en árboles adultos de palto cv. Hass, en el periodo de un año. A pesar del corto periodo de las observaciones y mediciones, estos resultados son importantes para tener una idea del manejo y el efecto del riego sobre el desarrollo de los árboles.

determinó que el riego por goteo resultó ser más eficiente en cuanto a favorecer el desarrollo de raices absorbentes, tanto en superficie como en profundidad Estas se desarrollan desde el tronco hasta perfil. zona de la entre hilera en forma abundante ya que sistema de riego favorece la realización de un adecuado intercambio gaseoso que evita que se produzcan situaciones Este aspecto sería responsable en de saturación. sistema de microaspersión de la ausencía de raices absorbentes en el sector ubicado bajo la canopia del árbol y el "mulch" de hojas. Por lo tanto, en la búsqueda de una adecuada aireación, las raices se ubican principalmente en la zona periférica de la canopia del árbol y en la entre hilera.

En cuanto al tipo de suelo, la condición más arcillosa que se da en el huerto regado por microaspersión, hace pensar

que éste sistema no sería el más adecuado, pues los largos favorecen la saturación de este suelo tiempos de riego y por tanto no permite la adecuada aireación y el desarrollo de raices. Sin embargo, habria que diferenciar la situación que se manifiesta bajo la canopia del árbol y la entre hilera donde se producen constantes momentos hidrico. consecuencia, estrés En habria ďe que reconsiderar la disposición de los microaspersores buscando beneficiar con el riego la zona de la entrehilera y así sacar de esa sobresaturación excesiva a la zona bajo la canopía del árbol.

En relación a la distribución de tensiones. éstas reflejaron claramente que aquellos puntos con cambios, tienen su justificación en la acción conjunta las raices absorbentes y la demanda evaporativa de atmosfera. En consecuencia, los patrones de uso-consumo del agua en el suelo, son claramente representados por los registros entregados por el tensiómetro de lectura instantanea para los dos sistemas de riego, donde los mayores cambios de tensión se justifican por la presencia de raices absorbentes.

6. RESUMEN

El crecimiento de los árboles está determinado por condiciones propias del árbol y de tipo ambiental. Con respecto al funcionamiento del árbol, el manejo de las raíces pasa a ser fundamental, especialmente por su alta sensibilidad a condiciones de estrés hidrico provocado por déficit o excesos de agua. En este punto, el sistema de riego pasa a ser determinante, y su eficiencia depende tanto de las condiciones de instalación, manejo y de la manera como el tipo de suelo permite distribuir las láminas de agua aplicadas.

Con los datos de la tensión del agua en el suelo obtenidos a través del uso de un tensiómetro de lectura instantánea, se intenta demostrar el patrón de uso consumo del agua en el suelo en paltos cv. Hass medidos en dos sistemas de riego presurizado (goteo y microaspersión) el cual corresponde a la presencia de raices absorbentes de palto.

Se determina claramente que en riego por goteo el desarrollo de raices se remite prácticamente a toda la superficie asignada al árbol, y que los valores de tensión están estrechamente relacionados con la presencia de raices. En microaspersión, la presencia de raices también está altamente relacionada con las zonas con mayores

cambios en la tensión del aqua en el suelo, observándose la mayor densidad en la zona de la entre hilera a 3,54 🗯 desde el tronco con una densidad de 0.88 raicillas por cm2. El desarrollo de raices estaría básicamente determinado por un efectivo intercambio gaseoso en el suelo, situación que claramente no produce en el riego ee. por microaspersión bajo la canopia del árbol. El sistema de riego por goteo permite una adecuada aireación lo que traduce en un gran desarrollo de raices absorbentes que alcanzan una densidad máxima de 1,08 raicillas por cm².

Se debe tener en cuenta que el tipo de suelo pasa a ser determinante, tanto con el tipo de sistema de riego que se desee emplear como también con el manejo del sistema que se adopte en lo que se refiere a frecuencias y tiempos de riego, a modo de no causar sobresaturación del suelo, situación que al corto plazo se traducirá en muerte de raices en un inicio, para seguir con el daño total del árbol.

7. LITERATURA CITADA

- ABERCROMBIE, R.A. 1990. Soil requirements for avocado cultivation. Farming in South Atrica. 2p (Avocados B.2.).
- ADATO, I. and LEVINSON, B. 1988. Influence of daily intermittent drip irrigation on avocado (cv. Fuerte) Fruit yield and trunk growth. J-Hortic-Sci. 63:(4):675-685.
- water and fertilizer application using daily intermittent drip irrigation on the water requirements, root development and responses of avocado trees (cv. Fuerte). J-Hortic-Sci. 66:(4):449-463.
- ARPAIA, M.L. and EAKS, I. 1990. Avocado fruit quality as influenced by preharvest cultural practices. California Avocado Society Yearbook. pp. 35-42.
- AVILAN, L.; MENESES, L.; SUCRE, R.; SERPA, D. 1984. Efecto de las propiedades físicas del suelo sobre la distribución radical del aguacate. Fruits 39 (7-8):475-482.
- BARRERA, J.L., BOYRS, M.W. and MARTINEZ, B. 1981.

 Root systems of <u>Persea americana</u> Mill. and

 <u>Persea schiedeananees</u>, 21st. International

 Horticultural Congress, Hamburg, Frg. Abstracts.
- BENDER, G.S. and SAKOVICH, N. 1988. Evaluation of water distibution by minisprinklers operated without Overlap. California Grower 12:(3):7-8.
- BIELORAI, H. 1977. The effect of drip and sprinkler irrigation on grapefruit yield, water use and soil salinity. Proc. Int. Soc. Citriculture. 1:99.

- of drip irrigated grapefruit. Proc. Int. Soc Citiculture. 562-567.
- BORST, G. 1984. Strategy for drought: reduce water use, improve efficiency. Avocado Grower 8(8):30-31.
- BOWER, J.P., WOLSTENHOLME, B.M., DE JAGER, L. 1985.

 Some aspects of water relations on avocado

 (Persea americana Mill.) tree and fruit
 physiology. D.Phill Thesis, Univ. Natal. 185 p.
- Long term irrigation influencing avocado abscisic acid content and fruit quality. South Africa Avocado Grovers' Association Yearbook. 9:43-45.
- term irrigation regime on avocado fruit poliphenol oxides browning potential. South Africa Avocado Growers' Association Yearbook. 9:51-53.
- BOYRS, M.W., BARRERA, J.L. and LUNA, J. 1985.

 Some root characteristics of avocado (<u>Persea</u>

 <u>americana</u> Mill.) seedling of the West Indian
 and Guatemalan races. California Avocado
 Society Yearbook 69:111-122.
- BOZZOLO, E. 1993. Aproximación a la determinación de los coeficientes de cultivo (Kc) en palto (<u>Persea americana</u> Mill.) cv. Hass para la zona de Quillota, V región. Tesis Ing. Agr. Quillota, Universidad Católica de Valparaiso, Facultad de Agronomia. 78p.
- CAMACHO, S.E., HALL, A.E. and KAUFFMANN, M.R. 1974. Efficiency and regulation of water transport in some woody and herbaceous species. Plant Physiology 54:169-172.

- CAMERON, S.H., MULLER, R.T. and WALLACE, A. 1952. Nutrient composition and seasonal losses of avocado trees. California Avocado Society Yearbook 36:201-209.
- CHILE, MINISTERIO DE AGRICULTURA. 1966. Estudio agrológico de la Hacienda la Palma. Departamento de Conservación de Suelos y Aguas. 144p.
- DEVLIN, R.M. 1980. Fisiología vegetal. 3a. ed. Barcelona, Omega. 517p.
- DIAZ, A.J. 1988. Cálculo de la evapotranspiración de los cultivos. Tesis Ing. Agr. Quillota. Universidad Católica de Valparaiso. Facultad de Agronomia. 127p.
- DOOREMBOS, J. y PRUITT, W. 1986. Las necesidades de agua de los cultivos. 3a. ed. FAO. 190p. (Colección de Riego y Drenaje N924).
- DURAND, B.J. and DU PLESSIS, S.F. 1990. Irrigation of avocado orchards. Farming in South Africa. 2p (Avocados F.1).
- ELFVING, D.C., KAUFMANN, M.R. and HALL, A.E. 1972. Physiol. Plant. 27:161-8.
- ENGLE, M.M. 1988. Efficient irrigation, saves water. California Grover 12:(8):12-13, 21,28.
- ¡ARDIAZABAL, F. y ROSENBERG, G. 1991. Cultivo del palto. Quillota, Universidad Católica de Valparaiso, Facultad de Agonomia, 201p.
- OODALL, G.E. 1987. Shots Control Root Rot, say Scientists. California Growers' 11(8):23-29.

- iRAHAM, A. D. N. and WOLSTENHOLME, B. N. 1991.
 Preliminary Results on the influence of late hanging of avocados (<u>Persea americana</u> Mill.) on tree performance. South African Avocado Grover's Association Yearbook 14:27-36.
- GREGORIOU, C. and KUMAR, D.R. 1984. Effects of irrigation and mulching on shoot and root growth of avocado (Persea americana Mill.) and mango (Mangifera indica L.). Journal of Horticultural Science 59:(1):109-117.
- JUSTAFSON, C.D. 1972-73. Drip irrigation experiments with avocados in San Diego County. Yearbook p. 109-124.
- ----- 1976. Avocado water relations. California Avocado Society Yearbook 60:57-72.
- on avocado. Six-Year summary of project. Cal.
 Avocado Soc. Yrbk. 63:95-113.
- ----- 1982. Management of drip irrigation systems (Part 1). Avocado Grover 6:(12):55-56,58.
- (Part 2). Avocado Grover 7:(1):46-47.
- HERNANDEZ, F. de P. 1991. Aproximación al ciclo fenológico del palto (<u>Persea americana Mill.</u>), cv. Hass para la zona de Quillota, V Región. Tesis Ing. Agr. Quillota, Universidad Católica de Valparaiso, Facultad de Agronomia.
- KALMAR, D. and LAHAV, E. 1977. Water requirements of avocado in Israel. Tree and soil parameters.

 Australian Journal Agriculture Research 28 (5): 859-868.

- **----; 1984. The water requirements of an avocado orchard planted on clay soil and irrigation by drip irrigation. Israel, Netafim. 14p (The Use of Drip Irrigation in Subtropical, Tropical and Citrus Fruit Orchards Nº15).
- MUFMANN, M.R. and HALL, A.E. 1974 The regulation of water transport in the soil-plant-atmosphere continum.
- RIEDEMANN, P.E. 1986. Tree water relations. Acta Horticulturae. 175: 343-350.
- KURTZ, C.; GUIL, I. and KLEIN, I. 1991. Water rate effects on three avocado cultivars. World Avocado Congress II, 21 - 26 april 1991, Orange, California pp. 103.
- LAHAV, E., and KALMAR, D. 1983 Determination of the irrigation regimen for an avocado plantation in spring and autumn. Australian Journal Agriculture Reserch 34: 717-724.
- physiological indicators in determining the irrigation requirements of the avocado tree. California Avocado Society Yearbook. 57:137-146.
- LOVATT, C.J. 1990. Factors affecting fruit set/early fruit drop in avocado. California Avocado Society Yearbook pp. 194-199.
- LYMAN, B. 1982. Irrigation Analisis: Water: how much, how little, how many times?. Avocado Grovers' 6(6): 28-33.
- MARSH, A.W.; BRANSON, R.L.; DAVIS, S.; GUSTAFSON, C.D. and STROHMAN, R.A. 1978. Irrigating new avocado orchards. Calif. Agric. 32:19-20.
- MARSHNER, H. 1986. Mineral nutrition of higher plants.

 London, Academic Press. 674p.

- MARTINEZ, A.R. 1981. Proyecto de implementación de un sistema de riego tecnificado en la Estación Experimental "La Palma", Quillota. Tesis Ing. Agr. Quillota, Universidad Católica de Valparaiso, Facultad de Agronomia. 102p.
- MEYER, J.L.; ARPAIA, M.L.; YATES, M.V.; TAKELE, E.; BENDER, G. and WITNEY, G. 1990. Irrigation and fertilization management of avocados, research findings. California Avocado Society Yearbook pp. 71-83.
- -----. 1992. Economic evaluation and integrated irrigation and fertilization practices of avocados. Procedings of Second World Avocado Congress. pp. 577-581.
- MUNOZ, A. J. 1988. Comparación del sistema radicular del aguacate bajo dos sistemas de riego: goteo y microaspersión. Tesis. Escuela de Ingenieria Técnica Agricola "La Rabida", Palos de la Frontera Huelva, España. 106 pp.
- NIRODY, B.S. 1922. Investigations in avocado breeding. California Avocado Association Yearbook 6:65-78.
- NOVOA, R.; VILLASECA, R.; DEL CANTO, P.; ROANET, J.; SIERRA, C. y DEL POZO, A. 1989. Mapa Agroclimático de Chile. Santiago, INIA. 221p.
- OLALLA, L.; FARRE, J.M.; SALAZAR, A.; MIRA, A. and JURADO, F. 1988. Relaciones agua-suelo-planta en aguacate: Planteamiento de un proyecto de investigación y estudios previos. VII Jornadas sobre Riegos Asoc. Españ. Riegos y Drenajes. Madrid. 340 p.
- LOPEZ, C. 1992. The response of avocado trees in the South of Spain to Different Irrigation Regimes and Wetted Areas. Proc. of Second World Avocado Congress 1992. pp. 281-288.

- PARODI, L.R. 1959. Enciclopedia argentina de agricultura y jardineria; Descripción de plantas cultivadas. Buenos Aires, Acme. 385p. (Vol. 1)
- PLESSIS, S.F. DU. 1991. Factors important for optimal irrigation scheduling of avocado orchards. South African Avocado Growers' Association Yearbook. 14:91-93.
- POST, S. and PECK, D. 1983. Irrigationists break new ground in search for exact water needs of mature avocados. Avocado Grower 7(10):32-34.
- SALAZAR, S. and CORTES, J. 1986. Root distribution of mature avocado trees growing in soils of diferent texture. California Avocado Society Yearbook 70: 165-174.
- SALGADO, E. 1991. Manejo del riego. Curso Internacional de Producción, Postcosecha y Comercialización de Paltas, 2 - 5 Octubre de 1990, Viña del Mar, Chile.
- SCHAFFER, B. and BARANOWSKY, R.M. 1986. Sample size estimates for avocado yield experiments. J. Amer. Soc. Hort. Sci. 111:985-987.
- SCHOLEFIELD, P.B., WALCOTT, J.J., KRIEDEMANN, P.E. and RAMADASAN, A. 1980. Some environmental effects on photosynthesis and water relations of avocado leaves. California Avocado Society Yearbook 64: 93-105.
- -----., SEDGLEY, M. and ALEXANDER, D. McE. 1985. Carbohydrate cycling in relation to shoot growth, floral initiation and development and yield in the avocado. Scientia Horticulturae 25: 99-110.
- SEDGLEY, M. 1977. The effect of temperature on floral behavior, pollen tube growth and fruit set in avocado. Journal of Horticulture Science 52: 135-141.

- response to temperature in the avocado cultivar Hass. Scientia Horticulturae 14:27-33.
- temperature during flowering on fioral cycle and pollen tube growth in nine avocado cultivars. Sci. Hortic. 18:207-213.
- SHALVEHET, J.; MANTELL, A.; BIELORAI, H.; SHIMSI, D. 1981.
 Irrigation of field and orchard crops under semiarid conditions, second edn. Int. Irrig.
 Inform Center, Israel. 127-132.
- SINCLAIR, T.R. and LUDLOW, M.M. 1986. Influence of soil water supply on the plant water balance of four tropical grain legumes. Aust. J. Plant Physiol. 13:329-341.
- SLABBERT, M.J. 1987. A Comparison of irrigation scheduling by tensiometer versus evaporation pan. South African Avocado Growers' Association Yearbook 10:54-56.
- SMAJSTRLA, A. G., KOO, R. C. 1984 Effects of trickle irrigation methods and amounts of water applied on citrus yields. Proc. Fla. State Hort. Soc. 97:3-7.
- STERNE, R.E., ZENTMYER, G.A. and KAUFFMANN, M.R. 1977. The influence of matric potential, soil moisture and soil amendment on root disease caused by Phytopathology 67: 1495-1500.
- TAKELE, E., MEYER, J.L., ARPAIA, M.L., YATES, M.V., BENDER, G. and WITNEY, G. 1990. Irrigation and fertilization management of economic analysis progress report. California Avocado Society Yearbook pp. 85-98.

- TELLO, C.A. 1991. Efectos de volúmenes diferenciados de riego en el desarrollo vegetativo, producción y calidad de frutos en palto (<u>Persea americana Mill.</u>), cv. Hass. Tesis Ing. Agr. Quillota, Universidad Católica de Valparaiso, Facultad de Agronomia.
- TURNEY, J. and MENGE, J. 1993. Mulching benefits. California Grower 17 (10): 35.
- VELLIDIS, F., KATERJI, N. 1991. Plant response to the soil water reserve: consequences of the root system environment. Irrig. Sci. 12: 145-152.
- VERHEIJ, E.W.M. 1986. Towards the classification of tropical tree fruit trees. Acta Horticulturae 175:137-140.
- WESTWOOD, M. 1982. Fruticultura de zonas templadas. Madrid, Mundiprensa. 461p.
- WHILEY, A.W.; PEGG, K.G.; SARANAH, J.B. and FORSBERG, L.I.
 1986. The control of <u>Phytophthora</u> root rot
 of avocados with fungicides and effect of this
 disease on the water relations, yield and ring
 neck. Australian Journal of Experimental
 Agriculture 26:249-256.
- Influence of Phytophtora root rot on mineral nutrient concentrations in avocado leaves.

 Australian Journal of Experiments Agriculture.
 27:173-177.
- by floral structures of avocado (Persea americana Mill. cv. Fuerte) during flowering.

 Australian Journal of Agricultural Research 39:457-467.

- para lograr una alta productividad y calidad en el cultivo del palto. Curso Internacional de Producción, Postcosecha y Comercialización de Paltas, 2 5 Octubre de 1990, Viña del Mar, Chile.
- fisiología de palto para obtener mayores producciones. Curso Internacional de Producción, Postcosecha y Comercialización de Paltas, 2 5 Octubre de 1990, Viña del Mar, Chile.
- of time of harvest on fruit size, yield and trunk starch concentrations of avocados cv. Fuerte. World Avocado Congress II, 21 25 April 1991, Orange, California, USA.
- MOLSTENHOLME, B.N., WHILEY, A.W. and SARAMAH, J.B. 1990.

 Manipulating vegetative: reproductive growth
 in avocado (Persea americana Mill.) with
 paclobutrazol foliar sprays. Scientia
 Horticulturae 41:315-327.
- fruiting efficiency in the avocado tree. World Avocado Congress II, 21-26 April 1991, Orange, California. pp.61.
- ZAMET, D.N. The effect of minimum temperature on avocado yields. California Avocado Society Yearbook pp. 247-255.

ANEXOS

- ANEXO 1. Caracterización Fisica y Morfológica del perfil perteneciente a la serie "La Palma".
- Ø 15 cm. Pardo oscuro (7,5 YR 4/4) en húmedo; pardo pálido (10 YR 5/3) en seco; textura franco arcillosa; estructura en bloques subangulares muy finos, moderados; plástico adhesivo, muy friable, duro; sin reacción al HCl; pH 6,8; C.E. Ø,364 mmhos/cm; densidad aparente 1,372 gr/cc; limite inferior abrupto lineal.
- 15 36 cm. Pardo amarillento oscuro (10YR 3/4) en húmedo; pardo pálido (10 YR 5/3) en seco; textura franco arcillosa; estructura masiva, se quiebra en bloques subangulares finos, moderados, plástico; ligeramente adhesivo, friable, muy duro; sin reacción al HCl; pH 6,7; C.E. 0,391 mmhos/cm; densidad aparente 1,17 gr/cc; limite inferior claro lineal.
- 36 58 cm. Pardo rojizo (5 YR 4/4) en húmedo; pardo (7,5 YR 5/4) en seco; textura arcillosa; ligeramente plástico, ligeramente adhesivo, friable; ligeramente duro sin reacción al HCl; pH 6,85; C.E. 0,257 mmhos/cm; densidad aparente 1,37 gr/cc; limite inferior abrupto lineal.
- 58 64 cm. Pardo rojizo oscuro (5 YR 3/4) en húmedo: pardo rojizo (5 YR 4/4) en seco; textura arcillosa; estructura de bloques subangulares, finos, moderados; plástico, ligeramente adhesivo, friable, suave; sin reacción al HCl; pH 6,8; C.E. 0,214 mmhos/cm; densidad aparente 1,43 gr/cc; limite inferior abrupto lineal.
- 84 124 cm. Pardo oscuro (5 YR 3/3) en húmedo; textura arcillosa en matriz de grava; sin estructura.

ANEXO 2. Análisis químico (meq/l) de las diferentes fuentes de agua de riego de la Estación Experimental "La Palma" (MARTINEZ, 1981).

FUENTE	рН	CE*103	K -	lla-	flg-	Ca-	C03-
POZO 1	6, 98	6, 47	0,05	1,11	2,05	2,84	0
POZO 2	7, 05	0, 45	0, 03	0, 91	2, 39	2, 54	0, 15
TRANQUE	8, 05	0, 29	0,04	0,72	1, 26	1,87	0, 15

FUENTE	HC03-	504-	CT
P0Z0 1	2, 95	2, 48	0, 45
P0Z0 2	3, 03	2, 23	0, 44
TRANQUE	2, 0 3	1,69	0, 30

ANEXO 3. Datos climatológicos para la zona de Quillota, sector "La Palma" medidos en la Estación Meteorológica perteneciente a la Estación Experimental de la Facultad de Agronomia U.C.V. correspondiente al año 1993.

MES	TE	MPERATU	RAS	PAPATATANTAN	FINANCIANA		
	Máx.	Min.	Bajo 0°C	PRECIPITACION (mm/mes)	EVAPORACION BANDEJA (##/#es		
Enero	27,38	11,56	- /	it dam dala dari ban sann ming peri diri. 161 dele diri 1600 dan dike dike dike 160 bin 160 bin 160 bin dara dari 1	1 182,9		
Febrero	25, 27	13, 1	-)	-	131,0		
Marzo	22,4	10,78	- }	-	114,3		
Abril	20,2	11,2	-)	76, 3	59,9		
Mayo	17,95	10,26	- }	65,6	29,75		
Junio	17,28	7,6	-)	36, 8	19,0		
Julio	16,3	0,5	-4,8	43,5	25,7		
Agosto	19,48	4,8	- }	56,8	41,1		
Septiembre	19,1	5,58	- }	=	74,1		
Octubre	21,5	7,27	-)	7,0	112,7		
Noviembre	25,2	7,4	- }		158, 2		
Diciembre	25,3	9,7	-)	-	218,4		

- ANEXO 4. Caracterización del perfil de suelo ubicado en el huerto de paltos de la Estación Experimental de la U.C.V.
- 0 30 cm. Textura arcillo francosa; color café en húmedo. Presencia de piedras; estructura de bloques; poros finos y medios; raices finas escasas; limite gradual; no se observa actividad biológica.
- 30 50 cm. Textura franco arcillosa; color café en húmedo; estructura granular; poros finos y medios abundantes; pedregoso; presencia de raíces finas; no se observa actividad biológica.
- 50 65 cm. Textura arenosa; color pardo claro; sin estructura o grano simple; abundantes piedras; poros grandes abundantes; no se observan raíces; no se observa actividad biológica.
- 65 100 cm. Textura arenosa; color café; grano simple; piedras grandes en un 70% de la estrata; no se observan raices; no se observa actividad biológica.

- ANEXO 5. Caracterización del perfil de suelo ubicado en el huerto de paltos del fundo "La Palma".
- 7 25 cm Textura arcillo francosa; color café en húmedo. Presencia de piedras de diametro superior a 5 cm; estructura en bloques; poros finos y medios; plástico, adhesivo, muy friable, duro; raices abundantes; limite inferior abrupto lineal.
- 25 50 cm Textura franco arenosa en matriz pedregosa; piedras de tamaño superior a los 15 cm en todo el perill; estructura en bloques subangulares finos; ligeramente plástico, adhesivo, friable; raices finas abundantes.

AMERO 6. Resultados del anàlisis de granulometría, % de humedad y densidad aparente del suelo perteneciente al huerto de la Estación Experimental de la U.C.V.

(ca)	TEMSION (cb)	HEMEDAD (%)	DENISIDAD Aparente	ARENA (%)	ARCILLA	LIMO (%)	TEXTURA
							FRANCO
30		55	2,06	50,5	23,5	26	ARENOSA
	5,5	38	•				
	10	23					
	15	18					
	20	16					
	25	12					
	36	8, 1					
							FRANCO
60	•	48	1,69	60,5	19,5	20	ARENOSO
	10	15					
	26	7					
	35	6,5					
	46	5,8					

PMENO 7. Resultados del amálisis de granulometría, % de humedad y densidad aparente del suelo perteneciente al fundo "La Palma".

(cs)	TENSION (cb)	HEMEDAD (%)	DENSIDAD APARENTE	ARENA (%)	ARCILLA (%)	LIMD (%)	TEXTURA
							FRANCO
36	•	52,9	1,68	48,5	25,5	26	ARCILLO ARENOSA
	39	6,99	-,	,.	,		
	42	5,49		,			
	48	4,49					

FMEXO 8. Tiespos de riego y caudales aplicados durante el periodo Enero 93 — Enero 94 en el huerto de la Estación Experimental de la U.C.V.

NES	EWAPGRACION BANDEJA	КЬ	ETe	Ke	Ele	EFICIENCIA DEL	APLICADA	TIEMPO RIEGO	CALBAL APLICADO
****	(ms/ses)	(ma/mes)	(mm/mes)	(88/Bes)	(mm/me)	SISTEMA	(me/mes)	(hrs/mes)	(lt/ses)
BEIG	182,9	0,8	146, 32	8,55	80,48	0,75	107, 3	74,58	5364,0
FEBRERO	131,0	0,8	194,8	0, 5	52,4	8, 75	69,9	48,54	3495,9
WARZO	114,0	0,8	91,2	0,45	41,04	0,75	54,7	38, 10	2743,2
ABRIL	59,9	0,8	47,92	0,4	19, 17	0,75	25,6	17, 80	1281,6
MANO	29,75	0,8	23,85	0,4	9,52	9,75	12,7	8,82	635,#4
ODER	19,0	0,8	15,2	0,35	9,32	0,75	7,09	4,92	354,24
ALIO	25,7	8,8	20,56	9, 35	7,2	0,75	9,6	6,70	482,4
AGUSTO	41,1	0,8	32,86	0,4	13, 15	0,75	17,54	12, 18	872, ●
SEPTIENCE	E 74,1	6,8	59,28	6,45	26,68	0, 75	35,57	24,78	1778,4
OCTUBRE	112,7	6,8	90, 16	6,5	46,57	0,75	54, 18	37,57	2705,1
HOVIENNE	156,2	6,8	126,56	6,5	63,28	0,75	84,37	58,60	4219,2
DICIDER	206,6	6,8	162,28	0,55	90, 10	0, 75	121,20	84, 10	6855,2
TOTAL	1155,0		921,01	1	452,91		599,7	416,53	29986,3